

# ویژگی‌های کانی‌شناسی، شیمی کانی‌ها و میانبارهای سیال کانسار اسکارن آهن معدن‌جو، ناحیه معدنی سنگان، شمال شرق ایران

مریم فتوت جامی<sup>۱</sup> و مسعود علی‌پوراصل<sup>(۲)</sup>

- دانش‌آموخته کارشناسی ارشد، گروه پترولوزی و زمین‌شناسی اقتصادی، دانشکده علوم زمین، دانشگاه صنعتی شاهروود
- دانشیار گروه پترولوزی و زمین‌شناسی اقتصادی، دانشکده علوم زمین، دانشگاه صنعتی شاهروود

تاریخ دریافت: ۱۴۰۰/۰۹/۲۹

تاریخ پذیرش: ۱۴۰۰/۱۲/۲۴

## چکیده

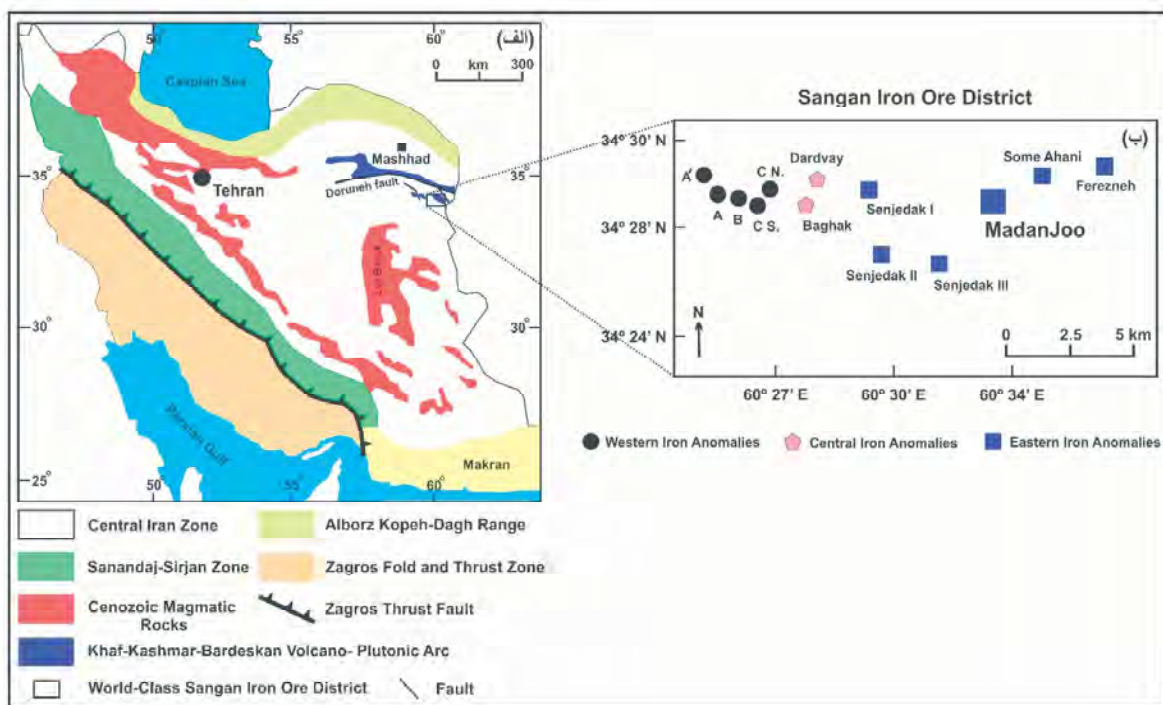
گستره آهن معدن‌جو، از آنومالی‌های شرقی مجموعه‌ی کانسارهای سنگ آهن در ناحیه‌ی معدنی سنگان است. این پهنه در انتهای بخش شرقی کمان آتشفشاری-نفوذی ستوزوئیک الیز واقع است. زمین‌شناسی پهنه شامل ماسه‌سنگ شیلی، مادستون آهکی و ماسه‌سنگ‌های ژواراسیک، سنگ آهک میکرواسپارایتی تا اسپارایتی و سنگ آهک دولومیتی کرتاسه بالای توالی‌های توفی و گذازهای اوسن بالای و سنگ‌های اسکارن اوسن میانیو رسوبات کواترنری است. مهم‌ترین رخداد در پهنه معدن‌جو نفوذ سیال‌های آهن دار در سازندهای تخریبی و کربناتی، اسکارن‌زایی و کانه‌زایی آهن است و با وجود منیتیت و کانی‌های کالک‌سیلیکاتی مشخص می‌شود. مناطق اسکارن بر اساس نوع و فراوانی کالک‌سیلیکات‌ها شامل الیوین-پیروکسن-گارت اسکارن، گارت-پیروکسن اسکارن، گارت اسکارن، پیروکسن-ولاتونیت-منیتیت اسکارن، منیتیت اسکارن، فلوگوپیت اسکارن، ترمولیت-اکتینولیت اسکارن‌نوپیدوت اسکارن است. کانه‌زایی آهن به صورت توده‌ای، نواری، رگ-رگه‌ای، برشیو دانه‌پراکنده بیشتر در سنگ آهک و دولومیت کرتاسه بالای و در امتداد گستره گسلی با روند شمال‌شرق-جنوب‌غرب رخ داده است. منیتیت کانه اصلی است و با پیریت، کالکوپیریت، پیروتیتو کانی‌های ثانویه آهن همراهی می‌شود. ترکیب گارت‌های معدن‌جو از نوع آندرادیت-گروسولار (بیشتر آندرادیت)، پیروکسن‌ها از نوع دیوپسید-هدنبرگیت (بیشتر دیوپسید) و الیوین‌ها از نوع فورستریت است. مطالعه دما-فشار‌سنجی بر اساس شیمی‌پیروکسن، دمای تبلور پیروکسن‌ها پهنه را بین ۴۵۸ تا ۶۸۹ درجه سانتی‌گراد، فشار ۲/۲۱ کیلوبار و عمق تبلور از یک تا ۵/۲ کیلومتر مشخص می‌کند. مطالعه میانبارهای سیال سه مرحله پارازیتیک اصلی را در تشکیل اسکارن و نهشت مواد معدنی، در کانسار معدن‌جو مشخص می‌کند: (۱) مرحله پیش‌رونده با تشکیل پیروکسن و گارت‌های پیش‌رونده در دمای ۳۳۰ تا ۴۱۰ درجه سانتی‌گراد با شوری سیال بین ۳۳ تا ۵۸ درصد وزنی معادل نمک ۱۲۰، NaCl، (۲) مرحله پس‌رونده با پیدایش گارت‌های تاخیری، ترمولیت-اکتینولیت و کلسیت مرحله تاخیری در دمای ۳۰۰ درجه سانتی‌گراد با شوری سیال ۴۹ تا ۱۶ درصد وزنی معادل NaCl و (۳) مرحله پس از کانه‌زایی با رگه‌های کلسیت و بندرت کوارتز که در دمای ۹۵ تا ۱۹۰ درجه سانتی‌گراد با دامنه شوری ۲ تا ۱۵ درصد وزنی معادل NaCl بوجود آمده است. آمیختگی سیال‌ها، جوشش، رقیق شدگی با آبهای جوی و کاهش دما مکانیسم احتمالی برای تشکیل کانسنگ‌های آهن می‌باشد. در نهایت، کانه‌زایی آهن معدن‌جو بعنوان کانسار آهن اگزواسکارن منیزیمی معرفی می‌شود.

**واژه‌های کلیدی:** اسکارن آهن منیزیمی، ژئوشیمی، کانی‌شناسی، معدن‌جو، میانبار سیال، ناحیه معدنی سنگان.

## مقدمه

را شامل می‌شود (گل محمدی و همکاران، ۱۳۹۳). در بخش غربی ۵ کانسار به نام‌های A، B، C، شمالي و C جنوبی، در بخش مرکزی ۲ کانسار دردوى و باگك و در بخش شرقی ۶ کانسار سنجدک A، سنجدک II، سنجدک III، معدن جو، سم آهنی و فرزنه جای دارند (شکل ۱-ب). در این پژوهش، نمونه‌های سنگ و کانسنگ از رخمنون‌ها و مغزه‌های حفاری برداشت شده است و هدف از پژوهش تهیه نقشه زمین‌شناسی ۱/۵۰۰۰ و تفکیک واحدهای سنگ‌شناسی و پهنه‌های اسکارنی، کانی‌شناسی مناطق اسکارن، شیمی کانی‌های شاخص اسکارن، میانبار سیال و ژئوکانه‌زائی است.

مجتمع معادن سنگان در ۳۰۰ کیلومتری جنوب‌شرق مشهد، ۲۰ کیلومتری شهر سنگان در استان خراسان رضوی و در کمریند آتشفشاری-نفوذی خواف-کاشمر-بردسکن قرار دارد (شکل ۱-الف). مجموعه‌ی معادن سنگان با ذخیره‌ی بیش از یک میلیارد تن و عیار متوسط ۵۴ درصد اکسید آهن از بزرگترین معادن آهن ایران و خاورمیانه می‌باشد از (Golmohammadi et al., 2015). مجموعه‌ی کانسارهای آهن سنگان در گستره‌ای غربی-شرقی به طول ۲۶ کیلومتر قرار دارند. این گستره به سه بخش غربی، مرکزی و شرقی تقسیم شده است و هر بخش به نوبه‌ی خود چند کانسار



شکل ۱. (الف) موقعیت ناحیه معادنی سنگ‌آهن‌های سنگان در شمال شرق ایران (با تغییر از 1968 Stocklin)، (ب) موقعیت کانسارهای سه‌گانه آهن (آنومالی‌های غربی، مرکزی و شرقی) در ناحیه معادنی سنگان و پهنه اکتشافی معدن جو (با تغییر از گل محمدی و همکاران، ۱۳۹۳)

## روش مطالعه

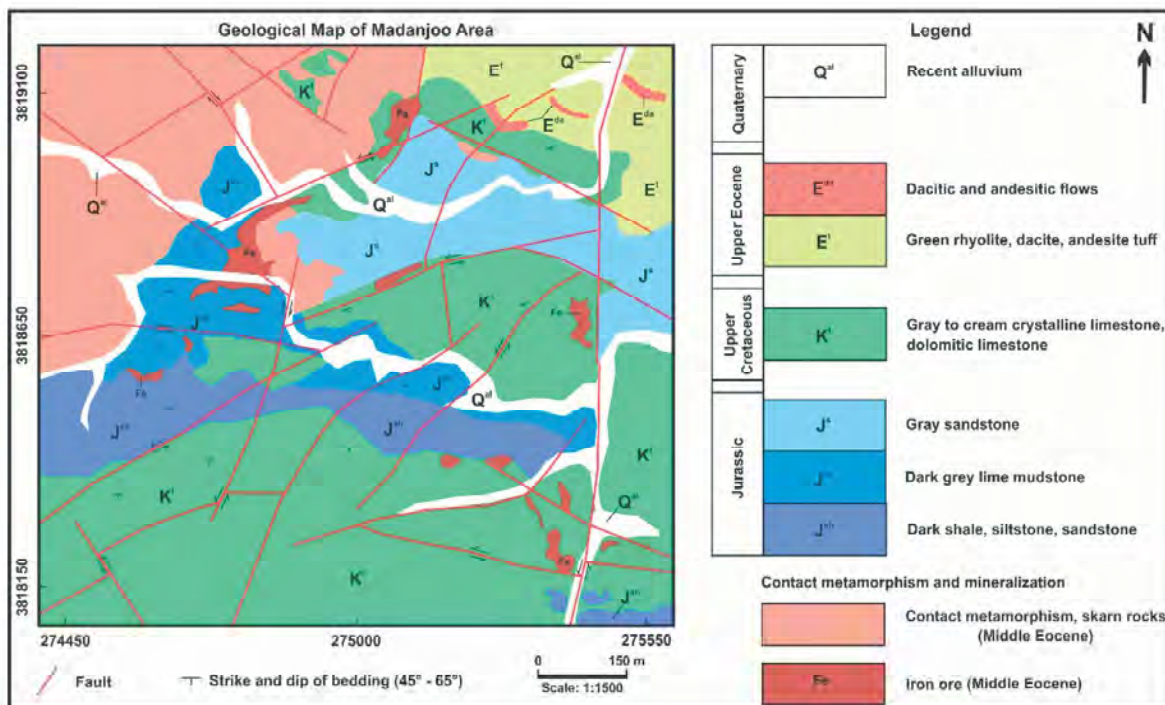
سنگ‌شناسی، کانی‌شناسی و ساخت و بافت ماده معادنی روی مقاطع انجام گرفت. بر اساس شواهد زمین‌شناسی صحرایی و مطالعات میکروسکوپی، تعداد پنج نمونه مقطع نازک-صیقلی از سنگ‌ها و کانسنگ‌های مهم مناطق مختلف اسکارن معدن جو، برای مطالعه شیمی کانی‌های منیتیت، الیوین، گارنت و پیروکسن با دستگاه ریزکاو الکترونی مدل

برای بررسی‌های سنگ‌شناسی، کانی‌شناسی، زمین‌شناسی و میانبار سیال از سنگ‌ها و کانسنگ‌ها در رخمنون‌های سطحی و مغزه‌های حفاری نمونه‌برداری صورت گرفت. تعداد ۲۶ مقطع نازک، ۱۰ مقطع صیقلی و ۳۴ مقطع نازک-صیقلی از سنگ‌ها و کانسنگ‌های سطحی و زیرسطحی تهیه شده است. سپس مطالعات میکروسکوپی

## زمین‌شناسی

کانسار سنگ‌آهن سنگان از نظر زمین‌ساختاری در انتهای بخش شرقی کمان‌آتشفشاری-نفوذی سنوزوئیک البرز واقع است، این کمریند با امتداد غربی-شرقی و خمیدگی به سمت شمال در شمال گسل درونه جای دارد (شکل ۱-الف). در گستره اکتشافی معدن جو واحدهای سنگی از قدیم به جدید شامل ماسه‌سنگ شیلی، مادستون آهکی و ماسه‌سنگ‌های ژوراسیک، سنگ‌آهک و آهک دولومیتی کرتاسه، توالی‌های توفی-گدازهای اونسن بالایی و سنگ‌های اسکارنی اونسن میانی و رسوبات کواترنری است (شکل ۲).

Cameca SX100 ساخت کشور فرانسه در آزمایشگاه مرکز تحقیقات مواد معدنی ایمیدرو در کرج به صورت نقطه‌ای تجزیه شده است. حد حساسیت روش ریزکاو الکترونی برای همه عناصر در این تحقیق ۱۰۰ گرم در تن می‌باشد. مطالعه میانبارهای سیال بر روی کانی‌های پیروکسین، گارنت، ترمولیت-اکتینولیت و کلسیت در هفت نمونه دوبرصیقلی از مناطق مختلف اسکارن معدن جو (تعداد ۶۸ نقطه) و با استفاده از دستگاه مدل THMS60 ساخت شرکت لینکام کشور انگلستان در آزمایشگاه دانشکده علوم زمین دانشگاه صنعتی شاهروд انجام شده است.



شکل ۲. نقشه زمین‌شناسی گستره آهن معدن جو (فتوت جامی، ۱۳۹۸)

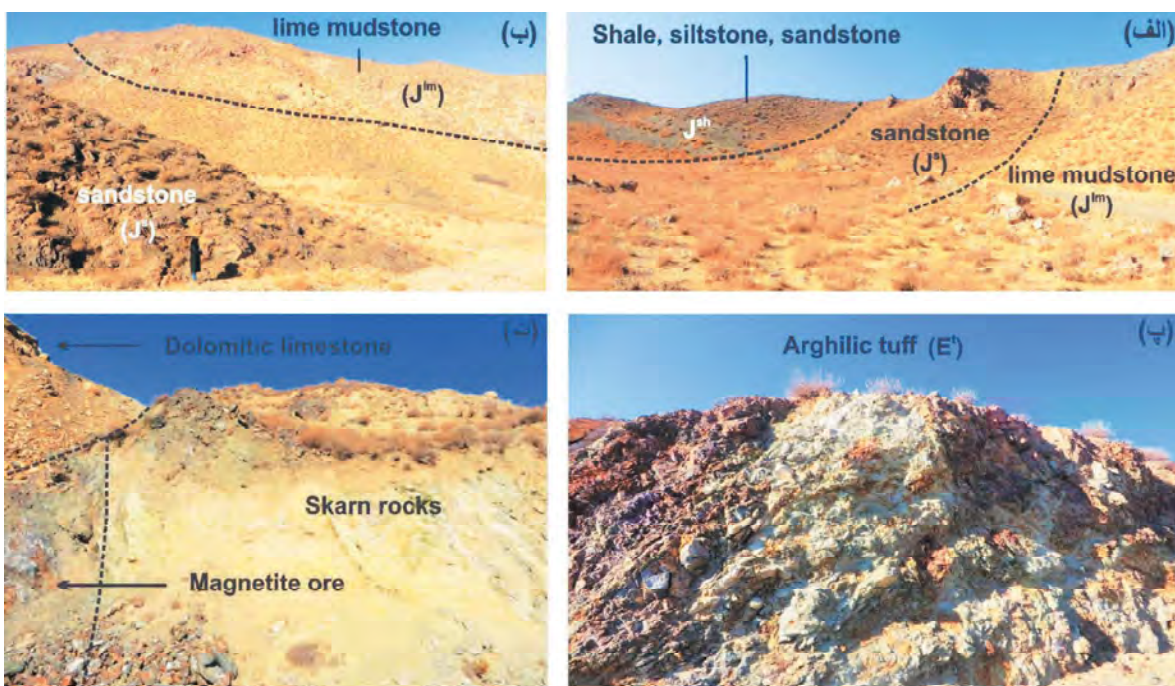
بیشتر دارای سیمان کربناتی و بندرت سیلیسی می‌باشد (شکل ۳-الف، ب). سنگ‌آهک و آهک دولومیتی شده‌ی میکرواسپارایتی تا اسپارایتی کرتاسه بالایی وسیع‌ترین واحد چینه‌ساختی در گستره اکتشافی معدن جو است و درجات ضعیف تا شدید دگرگونی مجاورتی را متحمل شده‌اند. این واحد کربناتی به دلیل وجود اکسید-هیدروکسیدهای آهن به رنگ کرم تا قهوه‌ای مشاهده می‌شود. این واحد در جهت‌های مختلف توسط رگه‌رگچه‌های کلسیت قطع شده است و در

سیلتستون بافت ریزدانه از کوارتز، پلاژیوکلاز، کانی‌های رسی، سریسیت و موسکوویت ترکیب یافته و درجه ضعیفی از دگرگونی نشان می‌دهند. واحد مادستون آهکی به رنگ خاکستری تیره دارای بافت ریزدانه میکرایتی است و از بلورهای ریز کلسیت و آثار فسیلی تشکیل شده است. ماسه‌سنگ‌های ژوراسیک با بافت دانه‌ای دارای رنگ خاکستری هستند. اجزای ماسه‌سنگ‌ها شامل کوارتز، فلدسپات، کلریت و میکا است. ماسه‌سنگ‌ها از بلوغ بافتی خوبی برخوردار هستند و

گرانیت-مونزوگرانیت-سینوگرانیت در ناحیه آنومالی‌های شرقی سنگان در طول اوسن میانی از بارتونین تا لوتسین (۳/۸ تا ۴/۳ میلیون سال) جای گرفتند (گل محمدی و همکاران، ۱۳۹۳). علاوه بر این، مطالعه U-Pb دانه‌های زیرکن از سه نمونه سینوگرانیت در گستره آنومالی مرکزی دردوى سن‌های ۳/۹/۶، ۳/۹/۳ و ۳/۹/۱ میلیون سال و بر روی دانه‌های زیرکن از دو نمونه سنگ‌های اسکارنی سن‌های ۳/۹/۷ و ۳/۹/۵ میلیون سال را نشان می‌دهد (Mehrabi et al., 2021). نتایج مطالعات سن‌سنگی ثابت می‌کند، رخداد کانه‌زائی در زمان اوسن میانی با نفوذی‌های گرانیتی، مونزوگرانیتی و سینوگرانیتی اوسن ارتباط بسیار نزدیکی دارد. بدین ترتیب که واحدهای سنگی ژوراسیک و کرتاسه در تماس با نفوذی‌های اوسن دگرگون شده و به سنگ‌های اسکارنی تبدیل شده‌اند و با فاصله از پهنه اسکارن، سنگ‌های آواری ژوراسیک و سنگ‌های کربناتی کرتاسه تبلور مجدد پیدا کرده و مرمری شده‌اند.

محلهایی به شدت متبلور و مرمری شده است. در ترکیب این سنگ‌ها، گاهی گارت، اپیدوت، کلریت، موسکوویت و اکسیدهای آهن نیز که کلسیت و دولومیت را همراهی می‌کنند، وجود دارند.

واحد توفی و گدازهای اوسن بالایی شامل توفهای آرژیلیتی و کربناتی و بندرت جریانات گدازهای ریولیتی، داسیتی و آندزیتی که تحت تأثیر متاسوماتیسم قرار دارند، می‌باشد. وجود کانی‌های پیروکسن و موسکوویت در مرحله تاریخی تحت تأثیر دگرسانی‌های اپیدوتی و سریسیتی قرار دارد (شکل ۳-پ). سنگ‌های اسکارنی اوسن میانی، مهم‌ترین واحد زمین‌شناختی در گستره معدن‌جو است و به دلیل اهمیت آنها، در پهنه‌بندی اسکارن آهن معدن‌جو به طور جداگانه توصیف می‌شود (شکل ۳-ت). توده نفوذی بیویتیت مونزوگرانیت در فاصله سه کیلومتری در خارج از گستره پژوهش در داخل سازندهای ژوراسیک و کرتاسه نفوذ کرده است. تجزیه U-Pb زیرکن نشان می‌دهد، نفوذی‌های



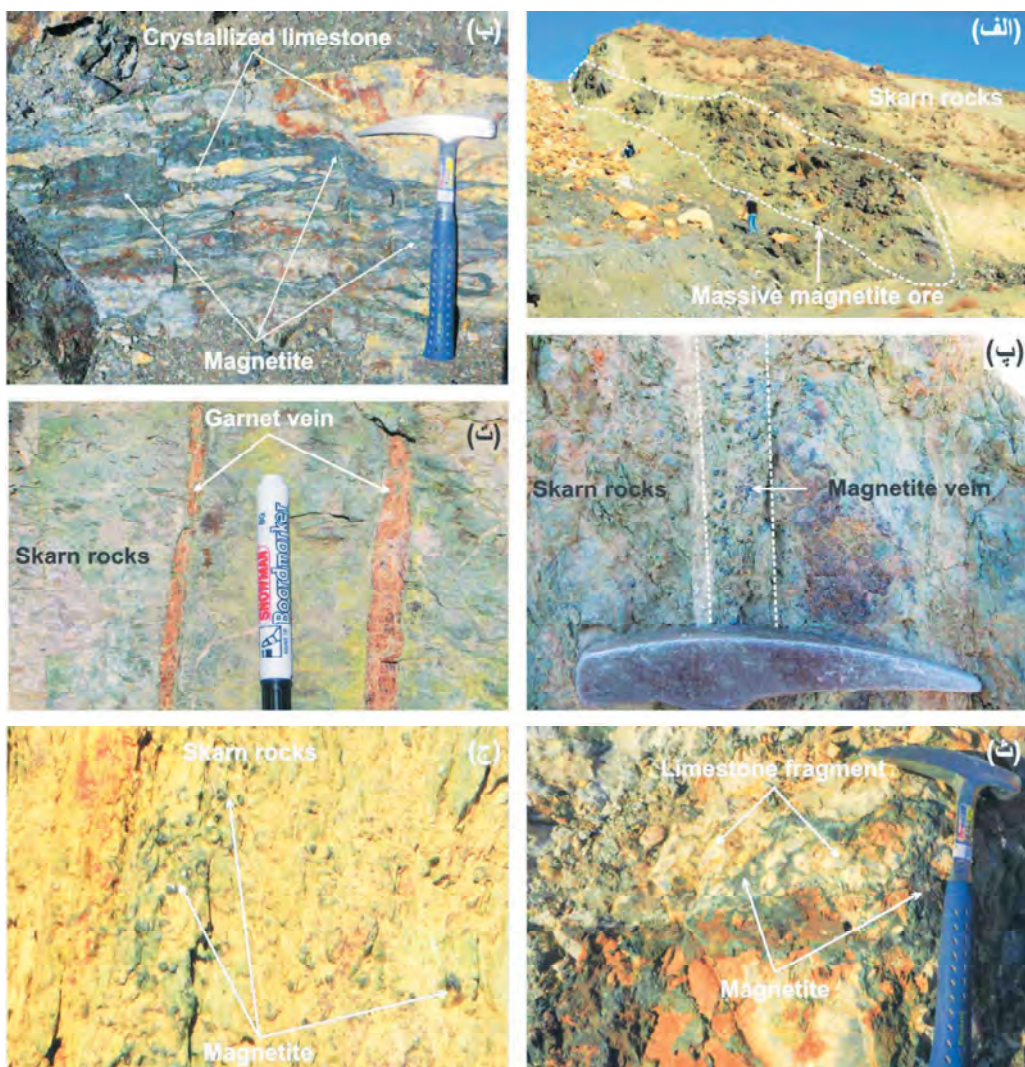
شکل ۳. (الف) تصویر صحرایی از رخنمون شیل، سیلتستون، ماسه‌سنگ و مادستون آهکی ژوراسیک، نگاه به سمت شمال‌شرق، (ب) تصویر صحرایی از رخنمون مادستون آهکی در همبری با ماسه‌سنگ، نگاه به سمت شمال، (پ) تصویر صحرایی از واحد توف آرژیلیکی اوسن بالایی، نگاه به سمت شمال‌غرب و (ت) تصویر صحرایی از واحد اسکارنی پهنه معدن‌جو (نگاه به سمت شرق)

## کانه‌زایی در گستره معدن جو

سنگ‌شناسی و کانی‌شناسی اسکارن معدن جو در گستره معدن جو، نفوذ توده مونزوگرانیتی اوسن به داخل شیل، مادستون آهکی و ماسه‌سنگی ژوراسیک و سنگ‌آهک و آهک دولومیتی کرتاسه بالابی سبب تشکیل سنگ‌های اسکارن و کانه‌زایی شده است. مناطق اسکارن به‌ویژه در تماس توده‌های نفوذی با سنگ‌های کربناتی کرتاسه بالابی توسعه یافته است، به‌طوری‌که شار حرارتی و سیالات گرمابی ناشی از توده‌های نفوذی، باعث دگرگونی ایزوشیمیابی و تبدیل سنگ‌های آهکی خالص به مرمر و آهک‌های دولومیتی به اسکارن شده است. در فرآیند زایش اسکارن واکنش سیال با کانی‌های سنگ میزان باعث دگرسانی متاسوماتیک پیشرونده و ایجاد کانی‌های کالک‌سیلیکاتی بی‌آب (فورستیریت، فاساییت، پیروکسن و لاستونیت و گارنت) می‌شود و در گامه‌های پایانی مرحله پیشرونده، منیتیت تشکیل شده است. مرحله تاخیری (پیشرونده) با تغییرات شرایط فیزیکوشیمیابی و نفوذ آب‌های جوی حرارت پایین و اختلاط آنها با سیال گرمابی همراه است. طی مرحله تاخیری، در اثر فرآیندهای هیدرولیز و کربن‌گیری، کانی‌های سیلیکاتی بی‌آب به کانی‌های آب‌دار تبدیل می‌شوند. در این مرحله گارنت بیشتر به اپیدوت و کلسیت و پیروکسن به سیلیکات‌های آب‌دار (ترمولیت-اکتینولیت) تبدیل می‌شود. در این مرحله کاهش دما و مصرف  $H^+$  توسط هیدرولیز کانی‌های کالک‌سیلیکاتی بی‌آب و کانی‌های کربناته (کلسیت) باعث ناپایداری کمپلکس‌های کلریدی و تهنیت کانی‌های اکسیدی (منیتیت) و سولفیدی (پیریت، کالکوپیریت و پیروتیت) می‌شود (Einaudi et al., 1981). بر پایه مطالعات سنگنگاری و کانی‌شناسی، در گستره معدن جو پهنه‌های اسکارنی زیر‌شناسایی شده است.

الیوین-پیروکسن-گارنت اسکارن: این پهنه اسکارنی شامل کانی‌های الیوین، فاساییت، گارنت، پیروکسن و منیتیت است. مجموعه این کانی‌ها در مرحله پیشرونده اسکارن تشکیل شده است. در این پهنه، کانه‌زایی منیتیت به صورت‌های توده‌ای و رگه‌ای مشاهده می‌شود. وجود کانی الیوین شاهدی بر وجود توده نفوذی در نزدیکی این پهنه و دلیلی بر اسکارن نوع منیزیمی می‌باشد (شکل ۵-الف).

کانه‌زایی در گستره معدن جو در دو مرحله پیشرونده و تاخیری صورت گرفته است. کانی‌های فلزی (اکسیدها و سولفیدها) در مرحله گذر از پیشرونده به تاخیری (مرحله تکوین کانی‌های آب‌دار) و تأثیرآب‌های جوی تشکیل می‌شوند، زیرا در این مرحله محیط برای شکستن کمپلکس‌های حامل فلزات مناسب است (Meinert, 1992). منیتیت مهم‌ترین کانه‌معدنی در گستره معدن جو است و به صورت اولیه در آخرين مرحله از فاز پیشرونده و شروع فاز تاخیری تهذیست شده است. اسپیکولاریت از دیگر کانی‌های اکسیدی در گستره است. رگه-رگچه‌های اسپیکولاریت بیانگر فاز نهایی گرمابی در کانه‌زایی‌های اسکارن است (Einaudi et al., 1981). پیریت نخستین و فراوان‌ترین کانی سولفیدی است و بلورهای آن از شکل دار، نیمه‌شکل دار و بی‌شکل، همراه با منیتیت و هم‌رشدی با کالکوپیریت مشاهده می‌شود. کالکوپیریت به رنگ زرد برجی و به صورت بلورهای بی‌شکل تا نیمه‌شکل دار و همراه با منیتیت و پیریت وجود دارد. پیروتیت نیز به مقدار خیلی کم در نمونه‌های زیرسطحی مشاهده شده است. الیوین، پیروکسن، گارنت، فلوگوبیت، اپیدوت، ولاستونیت، ترمولیت، اکتینولیت، کلریت و کلسیت به همراه کانی‌های اکسیدی و سولفیدی وجود دارند. کانی‌های ثانویه شامل هماتیت، گوتیت، لیمونیت و به مقدار کم اکسید-هیدروکسیدهای منگنز، مالاکیت و آزوریت است. کانه‌زایی منیتیت و کانی‌های همراه در معدن جو به ترتیب فراوانی به شکل‌های توده‌ای، صفحه‌ای، رگه-رگچه‌ای، برشی و دانه‌پراکنده است. در این میان شکل‌های توده‌ای و صفحه‌ای عمومیت دارند (شکل ۴-الف، ب). در معدن جو، کانه‌زایی اکسیدی-سولفیدی و گارنت به صورت رگه-رگچه‌ای در امتداد گسل‌ها و درزهای سنگ‌های میزان مشاهده می‌شود (شکل ۴-پ، ت). کانه‌زایی آهن با ساختار برشی نیز به صورت محلی وجود دارد (شکل ۴-ث). منیتیت و کانی‌های همراه به صورت دانه‌پراکنده در متن سنگ میزان دیده می‌شود. کانه‌زایی منیتیت دانه‌پراکنده بیشتر در پهنه گارنت اسکارن مشاهده می‌شود (شکل ۴-ج).



شکل ۴. تصاویری از ساختهای مختلف کانه‌زایی در پهنه معدن جو، (الف) شکل توده‌ای منیتیت در تماس سنگ‌های اسکارن و سنگ‌های آهکی و آهک دولومیتی متبلور کرتاسه بالایی (نگاه به سمت شرق)، (ب) کانه‌زایی نواری اکسیدهای آهن که ناشی از نفوذ سیالات کانه‌ساز در امتداد لایه‌بندی سنگ‌آهک‌های متبلور است، (پ) رگه‌های گارنت در سنگ‌های اسکارن، (ت) منیتیت در سنگ‌های اسکارن، (ث) ساخت برشی که منیتیت فضاهای میان قطعات سنگ‌آهک و آهک دولومیتی شده را پر کرده است، (ج) شکل دانه‌پراکنده منیتیت در سنگ‌های اسکارن

توده نفوذی است. گارنت‌های معدن جو دارای پهنه‌بندی مشخص است که بیانگر تغییر ترکیب شیمیابی آنها می‌باشد (شکل ۵-پ). گارنت‌های موجود در سنگ‌های دگرگونی گاهی فاقد پهنه‌بندی هستند. تغییرات شیمیابی در مقدار عناصر از مرکز به حاشیه‌ی آنها مشاهده نمی‌شود و دلیل اصلی آن رشد سریع گارنت در یک سیستم بسته است. این ویژگی در گارنت‌های موجود در سنگ‌های دگرگونی پهنه بروجرد گزارش شده است (رحمانی جوانمرد و همکاران، ۱۳۹۹).

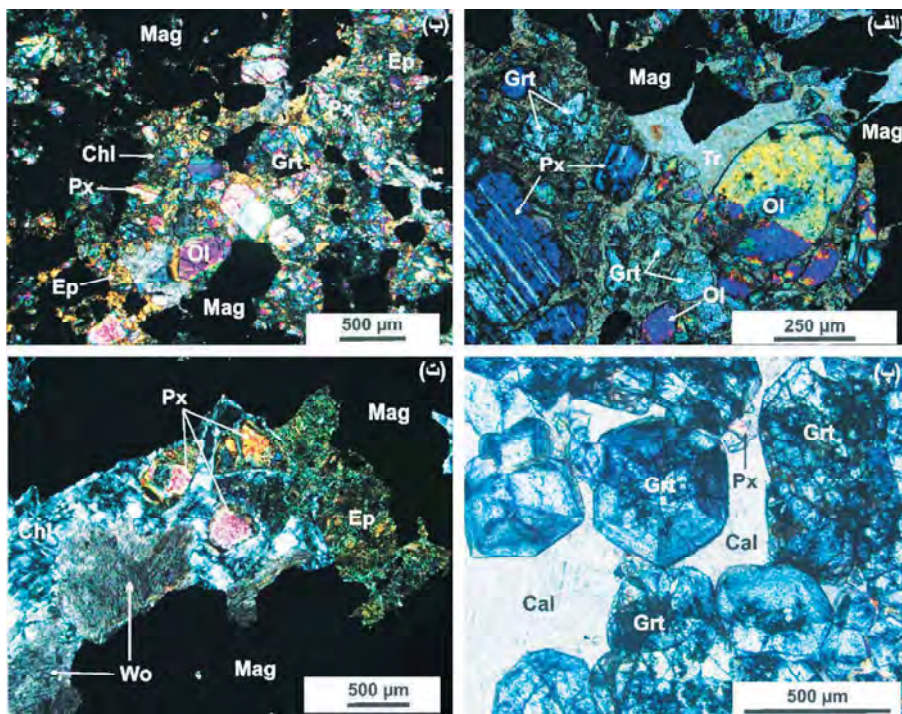
**پیروکسن-ولاتونیت-منیتیت اسکارن:** پهنه پیروکسن یک پهنه پیشرونده اسکارن است و در همه اسکارن‌ها مشاهده

**گارنت-پیروکسن اسکارن:** کانی غالب در این زون گارنت است و بوسیله پیروکسن همراهی می‌شود. شواهد بافتی نشان از هم‌رشدی گارنت و پیروکسن در مرحله پیشرونده که با منیتیت، اپیدوت و کلریت مرحله تاخیری دنبال می‌شود، می‌باشد (شکل ۵-پ).

**گارنت اسکارن:** در گستره معدن جو، گارنت محصول دگرسانی متاسوماتیک پیشرونده و فقیر از آهن است. بلورهای گارنت در این پهنه اغلب شکل دار تا نیمه‌شکل دار و دارای بافت گرانوبلاستیک هستند. همراهی گارنت با بلورهای درشت کلسیت نشان از نزدیکی این پهنه به محل همبrijی

خاکستری مشاهده می‌شود. بر پایه مطالعات میکروسکوپی پیروکسن کانی غالباً این پهنه است و با ولاستونیت، منیتیت و اپیدوت همراهی می‌شود (شکل ۵-ت).

می‌شود. این پهنه تنوع ترکیبی مشخصی از خودنشان می‌دهند. این پهنه اسکارن در بخش شمال غرب گستره معدن جو و در واحد توف‌های آرژیلی شده همراه با تناوبی از سنگ‌آهک‌های



شکل ۵. (الف) الیوین، پیروکسن، گارنت و منیتیت تشکیل درشت بلورهای الیوین و پیروکسن مقدم بر گارنت و منیتیت هستند، (ب) تصویر میکروسکوپی از پهنه گارنت-پیروکسن اسکارن که گارنت و پیروکسن بوسیله منیتیت، اپیدوت و کلریت همراهی می‌شوند، (پ) پهنه‌بندی مشخص در گارنت که نشان از تغییر ترکیب شیمیایی در ساختار بلورهای گارنت است (ت) تصویر میکروسکوپی از کانی‌های پیروکسن، ولاستونیت و اپیدوت به همراه منیتیت. Ep: اپیدوت، Px: پیروکسن، Mag: منیتیت، Ol: الیوین، Grt: گارنت، Tr: ترمولیت، Wo: ولاستونیت، Cal: کلسیت، Chl: کلریت نشانه‌های اختصاری از Whitney and Evans (2010)

زوئیزیت و کلینوزوئیزیت همزمان است، زیرا واکنش‌هایی که سبب پیدایش زوئیزیت می‌شوند، اکتینولیت را نیز تولید می‌کنند. ترمولیت مختص سنگ‌های کربناتی (دولومیتی) دگرگون شده است. کانی غالباً در این پهنه ترمولیت است که به همراه آن اکتینولیت نیز مشاهده می‌شود، ترمولیت است در مرحله دگرگونی پسرونده (تاخیری) از تبدیل پیروکسن‌ها ایجاد می‌شود (شکل ۶-پ).

اپیدوت اسکارن: این پهنه از گسترش به نسبت وسیعی در گستره معدن جو برخوردار است. زوئیزیت یک کانی کم و بیش بدون آهن از کانی‌های شاخص گروه اپیدوت در این پهنه است. تشکیل زوئیزیت در دمای بالای حدود ۴۰۰ درجه سانتی‌گراد، فقط زمانی که سیال محیطی از آب خالص باشد ( $\text{CO}_2 < 0.05$ )، رخ می‌دهد (Groat et al., 2014).

منیتیت اسکارن: منیتیت اسکارن، پهنه اصلی کانه‌زایی آهن در گستره معدن جو است. در این پهنه، منیتیت بیشتر دارای ساختار توده‌ای است، اما گاهی به شکل‌های رگه‌رگچه‌ای و دانه‌پراکننده نیز مشاهده می‌شود. در نمونه‌ها به همراه منیتیت کانی‌های پیریت، کالکوپیریت و بندرت پیروتیت وجود دارد (شکل ۶-الف).

فلوگوپیت اسکارن: در گستره اکتشافی معدن جو با توجه به گسترش وسیع سنگ میزبان دولومیتی و آهک دولومیتی، شرایط برای تشکیل فلوگوپیت مناسب می‌باشند. کانی غالباً در این پهنه فلوگوپیت است و در مواردی با منیتیت همراه است (شکل ۶-ب). وجود این کانی نشانی بر منیزیمی بودن اسکارن معدن جو است.

ترمولیت-اکتینولیت اسکارن: ظهور اکتینولیت با ظهور

این کانی با استفاده از روش ریزکاو الکترونی تجزیه شده است. موقعیت نقاط تجزیه و مقادیر غلظت اکسید عنصر به ترتیب در شکل ۷-الف) و جدول ۱ آورده شده است.

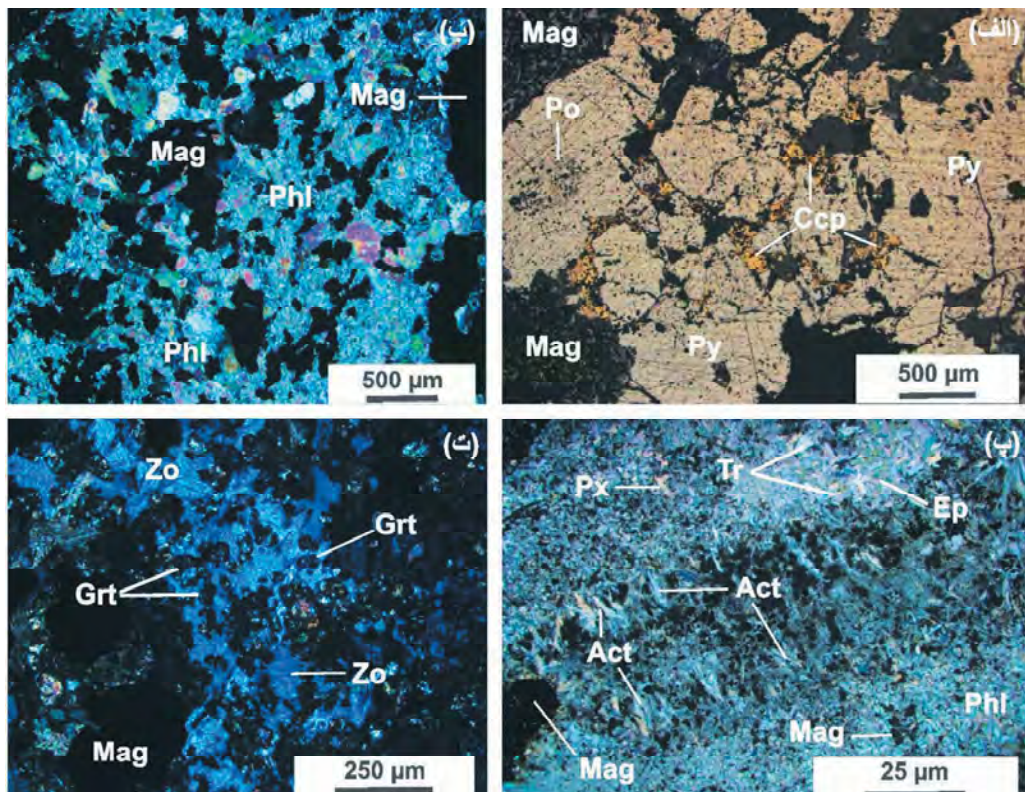
بر پایه داده‌های ژئوشیمیابی،  $\text{SiO}_2$  بیشترین درصد فراوانی را در ترکیب گارنت دارد و مقدار آن از ۳۷/۵۲ درصد تا ۳۹/۰۳ درصد تغییر می‌کند.  $\text{CaO}$ ,  $\text{FeO}$ ,  $\text{Al}_2\text{O}_3$  به ترتیب در مرتبه‌های بعدی قرار دارند. مقایسه ترکیب شیمیابی گارنت‌هایی معدن جو با ترکیب آندرادیت، گروسولار، اسپسارتین و آلماندین مرجع (webmineral.com/data)، مشابهت گارنت‌های معدن جو را بیشتر با انواع آندرادیت و گروسولار نشان می‌دهد و غنی از کلسیم هستند (شکل ۷-ب). در مثلث آندرادیت، گروسولار، آلماندین+اسپسارتین گستره ترکیبی اسکارن‌های آهن‌دار جهان قرار می‌گیرند (شکل ۷-پ).

کانی‌های این پهنه که در مرحله دگرگونی پسروندی تشکیل شده‌اند شامل زوئیزیت، کلریت، کلسیت، اپیدوت، گارنت و منیتیت مرحله تاخیری هستند (شکل ۶-ت).

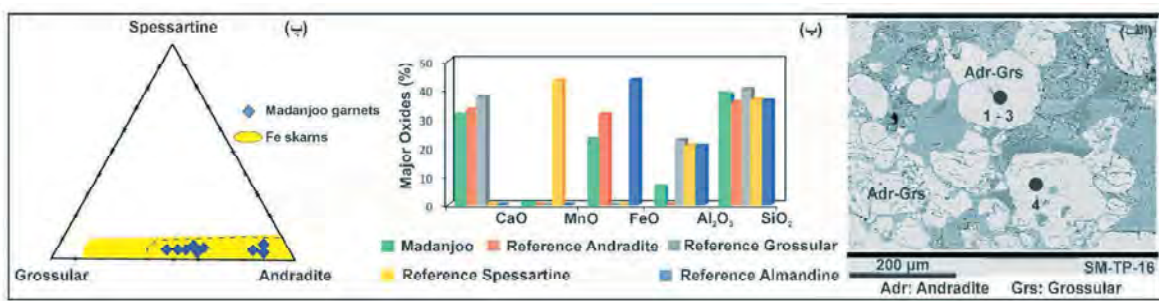
### شیمی کانی‌های پهنه اسکارن

در این پژوهش مطالعه شیمی کانی‌ها در پنج نمونه شاخص از پهنه‌های اسکارن معدن جو و بر روی کانی‌های الیوین (فورستریت)، گارنت، پیروکسن، منیتیت، فلوگوپیت، کلریت، کلسیت، دولومیت، پیریت، کالکوپیریت و کالکوسیت به تعداد ۷۲ نقطه انجام شده است (جدول‌های ۱، ۲، ۳ و شکل‌های ۷ تا ۹). در ادامه، تنها به توصیف شیمی کانی‌های مهم پهنه اسکارن از قبیل گارنت، پیروکسن، منیتیت و الیوین اکتفاء شده است. برای اطلاع از ترکیب شیمیابی سایر کانی‌ها به داده‌های جدول (۳) رجوع شود.

**شیمی گارنت:** در گستره معدن جو، برای مطالعه ترکیب شیمیابی گارنت و تشخیص نوع آن، تعداد نه نقطه بر روی



شکل ۶. (الف) تصویر میکروسکوپی از هم‌رشدی کانی‌های منیتیت، پیریت، کالکوپیریت و پیروتیت، (ب) تصویر میکروسکوپی از همیافتی فلوگوپیت و منیتیت، (پ) تصویر میکروسکوپی از ترمولیت، اکتینولیت، پیروکسن و فلوگوپیت و (ت) تصویر میکروسکوپی از زوئیزیت همراه با گارنت و منیتیت تاخیری. Ep: اپیدوت، Px: پیروکسن، Py: پیروتیت، Po: پیروکسن، Grt: پیریت، Tr: گارنت، Phil: فلوگوپیت، Act: اکتینولیت، Zo: زوئیزیت، Phil: فلوگوپیت نشانه‌های اختصاری از Whitney and Evans (2010)



شکل ۷. (الف) موقعیت و شماره نقاط تجزیه شیمیایی بر روی کانی‌های گارنت، (ب) مقایسه ترکیب شیمیایی گارناتهای معدن جو با ترکیب آندرادیت، گروسولار، اسپسارتین و آلماندین مرجع، که گارناتهای معدن جو بیشتر با انواع آندرادیت و گروسولار مشابه می‌باشند و غنی از کلسیم هستند و (پ) موقعیت ترکیب شیمیایی گارناتهای معدن جو در نمودار مثلثی گروسولار-اسپسارتین-آندرادیت (با تغییر از Meinert et al., 2005)

جدول ۱. نتایج تجزیه شیمیایی (درصد وزنی) گارناتهای انتخابی از اسکارن آهن معدن جو به روش میکروپروروب الکترونی

Sample No.	Point No.	Mineral	Na <sub>2</sub> O	K <sub>2</sub> O	MgO	CaO	MnO	FeO	NiO	Al <sub>2</sub> O <sub>3</sub>	V <sub>2</sub> O <sub>3</sub>	Cr <sub>2</sub> O <sub>3</sub>	SiO <sub>2</sub>	TiO <sub>2</sub>	Total
	۱		۰/۰۷	۰/۰۴	۰/۰۰	۳۰/۴۲	۰/۲۲	۲۰/۷۴	۰/۱۲	۷/۹۶	۰/۰۰	۰/۰۰	۳۸/۵۹	۰/۲۳	۹۸/۳۹
	۲		۰/۰۰	۰/۱۰	۰/۰۰	۳۰/۵۰	۰/۲۴	۲۱/۲۱	۰/۲۸	۸/۱۳	۰/۰۰	۰/۰۰	۳۹/۰۳	۰/۰۰	۹۹/۴۹
	۳		۰/۰۰	۰/۰۰	۰/۰۰	۳۰/۷۵	۰/۲۵	۲۱/۲۲	۰/۰۰	۷/۶۹	۰/۰۰	۰/۰۰	۳۸/۱۶	۰/۴۱	۹۸/۴۸
	۴	- Andradite	۰/۰۷	۰/۰۰	۰/۰۰	۳۰/۶۲	۰/۳۳	۲۰/۵۷	۰/۱۴	۸/۴۷	۰/۰۰	۰/۰۰	۳۷/۶۹	۰/۲۹	۹۸/۱۸
SM-TP-16	۵	Grossular	۰/۰۴	۰/۰۰	۰/۰۰	۳۰/۸۰	۰/۲۳	۲۸/۴۳	۰/۰۰	۲/۲۱	۰/۰۰	۰/۰۴	۳۷/۵۲	۰/۰۰	۹۹/۲۷
	۶		۰/۰۹	۰/۰۰	۰/۰۰	۳۰/۶۳	۰/۲۳	۲۶/۷۴	۰/۰۰	۲/۹۷	۰/۰۰	۰/۰۳	۳۷/۵۷	۰/۰۰	۹۸/۲۶
	۷		۰/۰۰	۰/۰۰	۰/۰۰	۳۱/۱۷	۰/۱۱	۲۶/۷۲	۰/۰۰	۲/۱۵	۰/۰۰	۰/۰۰	۳۸/۵۷	۰/۰۰	۹۸/۷۲
	۸		۰/۰۰	۰/۰۰	۰/۰۰	۳۱/۵۳	۰/۳۶	۱۹/۱۴	۰/۰۰	۸/۹۵	۰/۰۰	۰/۰۰	۳۸/۳۲	۰/۳۸	۹۸/۶۸
	۹		۰/۰۰	۰/۰۰	۰/۰۰	۳۲/۰۹	۰/۳۳	۱۹/۴۹	۰/۳۶	۸/۹۷	۰/۰۰	۰/۰۰	۳۸/۱۹	۰/۲۱	۹۹/۶۴
	Reference Andradite		۰/۰۰	۰/۰۰	۰/۰۰	۳۳/۱۱	۰/۰۰	۳۱/۴۲	۰/۰۰	۰/۰۰	۰/۰۰	۰/۰۰	۳۵/۴۷	۰/۰۰	۱۰۰/۰۰
	Reference Grossular		۰/۰۰	۰/۰۰	۰/۰۰	۳۷/۳۵	۰/۰۰	۰/۰۰	۰/۰۰	۲۲/۶۴	۰/۰۰	۰/۰۰	۴۰/۰۲	۰/۰۰	۱۰۰/۰۰
	Reference Spessartine		۰/۰۰	۰/۰۰	۰/۰۰	۰/۰۰	۴۲/۹۹	۰/۰۰	۰/۰۰	۲۰/۶۰	۰/۰۰	۰/۰۰	۳۶/۴۱	۰/۰۰	۱۰۰/۰۰
	Reference almandine		۰/۰۰	۰/۰۰	۰/۰۰	۰/۰۰	۰/۰۰	۴۳/۳۰	۰/۰۰	۲۰/۴۸	۰/۰۰	۰/۰۰	۳۶/۲۱	۰/۰۰	۱۰۰/۰۰

معدن جو را بیشتر با انواع دیوپسید و هدنبرگیت نشان می‌دهد و غنی از کلسیم و منیزیم هستند (شکل ۸-ب). در نمودار مثلثی هدنبرگیت-دیوپسید-ژوهانسنیت (Meinert et al., 2005)، ترکیب پیروکسن‌های معدن جو در گستره دیوپسید-هدنبرگیت و نزدیک به رأس دیوپسید و در گستره اسکارن‌های آهن‌دار قرار می‌گیرند (شکل ۸-پ). شیمی منیتیت: کانی منیتیت، یک ردیاب پتروزنیتیکی مهم است و کاربردهای گسترده‌ای در بررسی‌های زمین‌شناسی اقتصادی و اکتشافات معدنی دارد. شیمی منیتیت به تعداد ۳۴ نقطه در نمونه‌های SM-TP-06، SM-TP-131 و SM-B-49-55-42 اندازه‌گیری شده است. موقعیت نقاط تجزیه و مقادیر غلظت اکسید عناصر به ترتیب

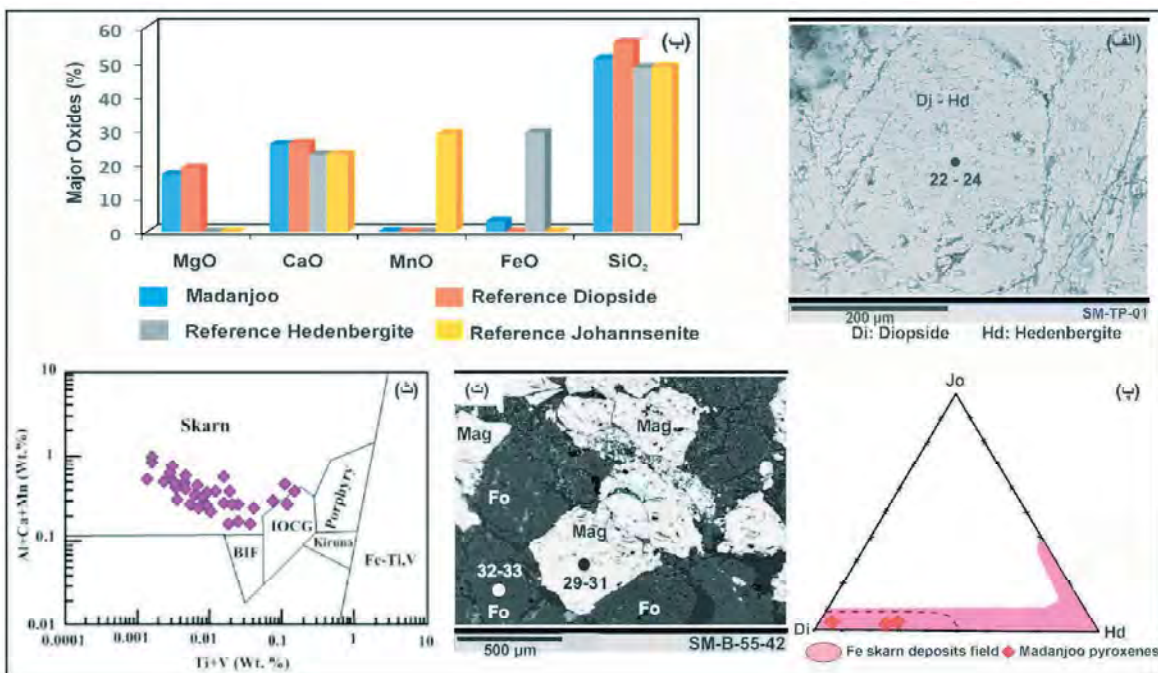
شیمی پیروکسن: پیروکسن از کانی‌های شاخص اسکارن‌ها است و در مرحله پیش‌رونده اسکارن‌زایی ایجاد می‌شود. در گستره معدن جو پیروکسن به همراه الیون، گارنت، ولاستونیت، فلوگوپیت و منیتیت در بیشتر پهنه‌های اسکارنی وجود دارد. در این گستره، برای مطالعه ترکیب شیمیایی پیروکسن و تشخیص نوع آن، تعداد سه نقطه بر روی این کانی با استفاده از روش ریزکاو الکترونی تجزیه شده است. موقعیت نقاط تجزیه و مقادیر غلظت اکسید عناصر به ترتیب در شکل ۸-الف) و جدول ۲ آورده شده است. مقایسه ترکیب شیمیایی پیروکسن‌های معدن جو با ترکیب دیوپسید، هدنبرگیت و ژوهانسنیت مرجع (webmineral.com/data)، مشابهت پیروکسن‌های

سنگ آهن استفاده می‌شود. به عنوان مثال نمودار Ti+V در مقابل Al+Ca+Mn، برای تشخیص انواع کانسارهای آهن بکار برده می‌شود (Dupuis and Beaudoin, 2011). در این نمودار شیمی منیتیت‌های معدن جو در گستره کانسارهای آهن اسکارن قرار می‌گیرند (شکل ۸-ث).

در شکل (۸-ت) و جدول (۳) آورده شده است. مقدار FeO از کمینه ۸۷/۲۷ درصد تا بیشینه ۹۳/۴۵ درصد در منیتیت‌های معدن جو تغییر می‌کند و متوسط آن ۹۰/۴۴ درصد است. از ترکیب شیمیابی منیتیت برای شناسایی منیتیت‌های ماقمایی و گرمایی و انواع مختلف کانسارهای

جدول ۲. نتایج تجزیه شیمیابی (درصد وزنی) پیروکسن‌های انتخابی از اسکارن آهن معدن جو به روش میکروپریوب الکترونی

Sample No.	Point No.	Mineral	Na <sub>2</sub> O	K <sub>2</sub> O	MgO	CaO	MnO	FeO	Al <sub>2</sub> O <sub>3</sub>	V <sub>2</sub> O <sub>3</sub>	Cr <sub>2</sub> O <sub>3</sub>	SiO <sub>2</sub>	TiO <sub>2</sub>	P <sub>2</sub> O <sub>5</sub>	Total
	۲۲	- Diopside	۰/۳۳	۰/۰۲	۱۵/۱۴	۲۴/۷۸	۰/۱۷	۴/۱۹	۲/۷۴	۰/۰۰	۰/۰۰	۵۰/۵۳	۰/۲۹	۰/۰۷	۹۹/۲۶
SM-TP-01	۲۳	Hedenbergite	۰/۲۰	۰/۰۴	۱۶/۲۳	۲۵/۸۸	۰/۲۱	۴/۶۴	۱/۰۵	۰/۰۰	۰/۰۰	۵۰/۷۵	۰/۲۶	۰/۰۰	۹۹/۰۶
	۲۴		۰/۰۳	۰/۰۹	۱۸/۸۹	۲۶/۵۳	۰/۰۴	۰/۴۹	۰/۷۶	۰/۰۰	۰/۰۰	۵۱/۶۳	۰/۱۲	۰/۰۰	۹۸/۵۸
	Reference Diopside		۰/۰۰	۰/۰۰	۱۸/۶۱	۲۵/۹۰	۰/۰۰	۰/۰۰	۰/۰۰	۰/۰۰	۰/۰۰	۵۵/۴۹	۰/۰۰	۰/۰۰	۱۰۰/۰۰
	Reference Hedenbergite		۰/۰۰	۰/۰۰	۰/۰۰	۲۲/۶۰	۰/۰۰	۲۸/۹۶	۰/۰۰	۰/۰۰	۰/۰۰	۴۸/۴۴	۰/۰۰	۰/۰۰	۱۰۰/۰۰
	Reference Johannsenite		۰/۰۰	۰/۰۰	۰/۰۰	۲۲/۶۹	۲۸/۷۰	۰/۰۰	۰/۰۰	۰/۰۰	۰/۰۰	۴۸/۶۲	۰/۰۰	۰/۰۰	۱۰۰/۰۰



شکل ۸. (الف) موقعیت و شماره نقاط تجزیه شیمیابی بر روی کانی‌های پیروکسن، (ب) مقایسه ترکیب شیمیابی پیروکسن‌های معدن جو با ترکیب دیوپسید، هدنبرگیت و ژوهانسنیت مرجع (پیروکسن‌های معدن جو بیشتر با دیوپسید و تا حدودی با هدنبرگیت مشابه بوده و غنی از کلسیم و منیتیم هستند)، (پ) موقعیت ترکیب شیمیابی پیروکسن‌های معدن جو در نمودارهای مثلثی دیوپسید (Di)-هدنبرگیت (Hd)-ژوهانسنیت (Johannsenite)، (ت) موقعیت و شماره نقاط تجزیه شیمیابی بر روی منیتیت و کانی‌های دیگرو (ث) نمودار دوتایی Ti+V در مقابل Al+Ca+Mn و موقعیت نمونه‌ها در گستره کانسارهای آهن اسکارن

روش ریزکاو الکترونی همانند روش سنگنگاری وجود الیوین را در نمونه‌ی SMB-TP-55-42 ثابت می‌کند. نتایج تجزیه تعداد سه نقطه (نقاط تجزیه ۳۲، ۳۳ و ۳۴) بر روی کانی الیوین (فورستریت) در جدول (۳) آورده شده است. بر پایه

شیمی الیوین: الیوین (فورستریت) از جمله کانی‌های دما بالا در گستره معدن جو ایست و همراه با کانی‌های فاساییت، پیروکسن، گارنت و منیتیت در پهنه اسکارن مشاهده شده است. تجزیه شیمیابی کانی‌ها با استفاده از

جدول ۳. نتایج تجزیه شیمیابی (درصد وزنی) منیتیت، فورستریت، کلریت، کلسیت، دولومیت، پیریت، کالکوپیریتو کالکوسیت از اسکارن آهن معدن جو به روش میکروپروروب الکترونی

Sample No.	Point No.	Mineral	SiO <sub>2</sub>	Al <sub>2</sub> O <sub>3</sub>	FeO	MgO	CaO	Na <sub>2</sub> O	K <sub>2</sub> O	TiO <sub>2</sub>	P <sub>2</sub> O <sub>5</sub>	MnO	Cr <sub>2</sub> O <sub>3</sub>	CoO	NiO	V <sub>2</sub> O <sub>3</sub>	SO <sub>2</sub>	CuO	ZnO	Total
	۲۲		۰/۰۳	۰/۰۵	۹۲/۹۷	۰/۷۳	۰/۰۰	۰/۰۴	۰/۰۰	۰/۰۳	۰/۰۰	۰/۰۵	۰/۰۰	۰/۰۰	۰/۰۰	۰/۰۰	۰/۰۰	۰/۰۰	۰/۰۰	۹۲/۹۰
	۲۳	Magnetite	۰/۰۸	۰/۱۵	۸۷/۶۶	۰/۷۴	۰/۰۰	۰/۰۸	۰/۰۵	۰/۰۷	۰/۰۰	۰/۰۴	۰/۰۰	۰/۰۰	۰/۰۰	۰/۰۷	۰/۰۰	۰/۰۰	۰/۰۰	۹۱/۴۴
	۲۴		۳۲/۶	۱/۹	۸۷/۶۲	۱/۱۹	۰/۰۷	۰/۷۶	۰/۳۱	۰/۱۲	۰/۰۵	۰/۰۲	۰/۰۰	۰/۰۰	۱/۲۵	۰/۰۰	۰/۰۷	۰/۰۰	۰/۰۰	۹۵/۴۶
	۲۵		۰/۰۱	۰/۱۳	۹۲/۶۵	۰/۱۱	۰/۰۰	۰/۰۸	۰/۰۳	۰/۰۰	۰/۱۰	۰/۰۳	۰/۰۰	۰/۰۰	۰/۰۰	۰/۰۰	۰/۰۰	۰/۰۰	۰/۰۰	۹۳/۸۴
	۲۶	Chlorite	۳۲/۸۱	۰/۰۱	۱/۵۵	۵۹/۹۰	۰/۰۰	۰/۱۴	۰/۰۰	۰/۱۴	۰/۰۰	۰/۰۷	۰/۰۰	۰/۰۰	۰/۱۶	۰/۰۰	۰/۰۰	۰/۰۰	۰/۰۰	۹۴/۷۸
	۲۷		۳۳/۸۶	۰/۱۴	۱/۵۱	۵۹/۱۱	۰/۰۶	۰/۱۴	۰/۱۳	۰/۱۳	۰/۰۰	۰/۰۸	۰/۰۰	۰/۰۰	۰/۰۰	۰/۰۵	۰/۰۰	۰/۰۰	۰/۰۰	۹۵/۲۱
	۲۸		۳۳/۲۶	۰/۳۲	۱/۳۴	۵۸/۵۸	۰/۴۴	۰/۲۳	۰/۰۰	۰/۱۷	۰/۰۰	۰/۰۰	۰/۰۰	۰/۰۰	۰/۰۰	۰/۱۶	۰/۰۰	۰/۰۰	۰/۰۰	۹۴/۸۱
	۲۹		۰/۱۰	۰/۰۲	۹۱/۷۸	۰/۱۱	۰/۰۳	۰/۰۲	۰/۰۰	۰/۰۰	۰/۰۰	۰/۰۵	۰/۰۰	۰/۰۰	۰/۰۴	۰/۰۰	۰/۰۰	۰/۰۰	۰/۰۰	۹۲/۷۵
	۳۰		۰/۳۱	۰/۲۲	۹۲/۶۹	۰/۹۵	۰/۰۴	۰/۴۷	۰/۱۷	۰/۰۵	۰/۰۰	۰/۰۹	۰/۰۰	۰/۹۴	۰/۰۰	۰/۰۰	۰/۰۰	۰/۰۰	۰/۰۰	۹۵/۹۸
	۳۱		۰/۱۵	۰/۱۷	۹۰/۹۵	۰/۸۶	۰/۰۰	۰/۴۷	۰/۱۱	۰/۰۰	۰/۰۰	۰/۰۴	۰/۰۰	۰/۰۰	۰/۰۳	۰/۹۸	۰/۰۰	۰/۰۰	۰/۰۰	۹۳/۷۶
SM-TP-06	۳۲	Magnetite	۰/۰۶	۰/۱۷	۸۷/۹۴	۰/۱۱	۰/۰۰	۰/۱۸	۰/۰۵	۰/۰۰	۰/۰۰	۰/۰۸	۰/۰۰	۰/۰۰	۰/۰۰	۰/۰۰	۰/۰۰	۰/۰۰	۰/۰۰	۹۱/۲۹
	۳۳		۰/۱۱	۰/۲۰	۸۷/۷۰	۰/۹۸	۰/۰۰	۰/۳۳	۰/۰۹	۰/۰۰	۰/۰۰	۰/۰۶	۰/۰۰	۰/۰۰	۰/۰۰	۰/۰۰	۰/۰۰	۰/۰۰	۰/۰۰	۹۱/۴۷
	۳۴		۰/۱۰	۰/۱۹	۹۰/۴۴	۰/۹۶	۰/۰۰	۰/۳۶	۰/۰۴	۰/۰۰	۰/۰۰	۰/۰۶	۰/۰۰	۰/۰۰	۰/۰۹	۰/۰۰	۰/۰۰	۰/۰۰	۰/۰۰	۹۱/۴۴
	۳۵		۰/۰۵	۰/۰۹	۹۱/۶۸	۰/۸۷	۰/۰۰	۰/۰۰	۰/۰۰	۰/۰۰	۰/۰۰	۰/۰۴	۰/۰۰	۰/۰۰	۰/۰۰	۰/۰۰	۰/۰۰	۰/۰۰	۰/۰۰	۹۲/۷۳
	۳۶		۰/۰۱	۰/۶۳	۹۰/۰۲	۱/۰۴	۰/۰۰	۰/۳۰	۰/۱۴	۰/۰۰	۰/۰۰	۰/۱۱	۰/۰۰	۰/۰۰	۰/۰۰	۰/۰۰	۰/۰۰	۰/۰۰	۰/۰۰	۹۳/۲۵
	۳۷	Chlorite	۳۲/۹۲	۰/۲۰	۲/۳۴	۵۸/۰۹	۰/۱۴	۰/۱۲	۰/۱۱	۰/۰۰	۰/۰۰	۰/۰۰	۰/۰۰	۰/۰۰	۰/۰۰	۰/۰۰	۰/۱۹	۰/۰۰	۰/۰۰	۹۵/۱۱
	۳۸		۳۳/۱۶	۰/۱۶	۲/۸۸	۵۷/۹۰	۰/۱۴	۰/۱۲	۰/۱۶	۰/۰۰	۰/۰۳	۰/۰۰	۰/۰۰	۰/۰۰	۰/۰۰	۰/۱۶	۰/۰۰	۰/۰۰	۰/۰۰	۹۴/۹۱
	۳۹		۰/۰۷	۰/۰۰	۴۵/۸۶	۰/۰۸	۰/۰۰	۰/۰۰	۰/۰۰	۰/۰۰	۰/۰۰	۰/۰۰	۰/۰۰	۰/۰۰	۰/۰۰	۵۲/۷۸	۰/۰۰	۰/۰۰	۰/۰۰	۹۸/۷۹
	۴۰		۰/۰۶	۰/۰۰	۴۵/۷۵	۰/۰۴	۰/۰۱	۰/۰۰	۰/۰۰	۰/۰۰	۰/۰۰	۰/۰۰	۰/۰۰	۰/۰۰	۰/۰۰	۵۲/۵۰	۰/۱۲	۰/۰۰	۰/۰۰	۹۸/۴۸
	۴۱		۰/۰۷	۰/۰۰	۴۵/۴۷	۰/۰۹	۰/۱	۰/۰۰	۰/۰۰	۰/۰۱	۰/۰۰	۰/۰۰	۰/۰۰	۰/۰۰	۰/۰۰	۵۲/۹۱	۰/۰۰	۰/۰۰	۰/۰۰	۹۸/۸۱
	۴۲	Pyrite	۰/۰۷	۰/۰۰	۴۵/۴۷	۰/۰۹	۰/۱	۰/۰۰	۰/۰۰	۰/۰۱	۰/۰۰	۰/۰۰	۰/۰۰	۰/۰۰	۰/۰۰	۵۲/۸۰	۰/۰۰	۰/۰۰	۰/۰۰	۹۸/۶۶
	۴۳		۰/۰۷	۰/۰۰	۴۵/۷۰	۰/۰۲	۰/۰۰	۰/۰۰	۰/۰۰	۰/۰۰	۰/۰۰	۰/۰۰	۰/۰۰	۰/۰۰	۰/۰۰	۵۲/۸۰	۰/۰۰	۰/۰۰	۰/۰۰	۹۸/۷۰
	۴۴		۰/۰۷	۰/۰۰	۴۵/۷۰	۰/۰۲	۰/۰۰	۰/۰۰	۰/۰۰	۰/۰۰	۰/۰۰	۰/۰۰	۰/۰۰	۰/۰۰	۰/۰۰	۵۲/۹۰	۰/۰۰	۰/۰۰	۰/۰۰	۹۸/۷۰
	۴۵		۰/۰۷	۰/۰۰	۴۵/۷۰	۰/۰۲	۰/۰۰	۰/۰۰	۰/۰۰	۰/۰۰	۰/۰۰	۰/۰۰	۰/۰۰	۰/۰۰	۰/۰۰	۵۲/۹۰	۰/۰۰	۰/۰۰	۰/۰۰	۹۸/۷۰
	۴۶	Magnetite	۰/۰۳	۰/۱۷	۹۱/۲۲	۰/۸۳	۰/۰۰	۰/۰۰	۰/۰۰	۰/۰۰	۰/۰۰	۰/۰۴	۰/۰۰	۰/۰۰	۰/۰۰	۰/۰۰	۰/۰۰	۰/۰۰	۰/۰۰	۹۲/۸۳
	۴۷		۰/۱۰	۰/۱۱	۹۱/۸۶	۰/۹۰	۰/۰۰	۰/۰۵	۰/۰۰	۰/۰۰	۰/۰۰	۰/۰۰	۰/۰۰	۰/۰۰	۰/۰۰	۰/۰۰	۰/۰۰	۰/۰۰	۰/۰۰	۹۲/۰۹
	۴۸	Calcite	۰/۱۸	۰/۰۱	۰/۰۲	۰/۴۵	۵۴/۹۸	۰/۰۰	۰/۰۰	۰/۰۰	۰/۰۰	۰/۰۷	۰/۱۳	۰/۰۰	۰/۰۰	۰/۰۰	۰/۰۰	۰/۰۰	۰/۰۰	۹۵/۰۱
	۴۹		۰/۱۲	۰/۰۰	۰/۱۳	۰/۲۳	۵۴/۹۸	۰/۰۰	۰/۰۰	۰/۰۰	۰/۰۰	۰/۱۱	۰/۰۰	۰/۰۰	۰/۰۰	۰/۰۰	۰/۰۰	۰/۰۰	۰/۰۰	۹۵/۸۷
	۵۰		۰/۰۸	۰/۲۲	۹۱/۶۹	۱/۰۹	۰/۰۰	۰/۰۰	۰/۰۰	۰/۰۰	۰/۰۰	۰/۰۰	۰/۰۰	۰/۰۰	۰/۰۰	۰/۲۱	۰/۰۰	۰/۰۰	۰/۰۰	۹۳/۴۸
	۵۱		۰/۰۳	۰/۰۰	۹۱/۲۴	۰/۸۶	۰/۰۱	۰/۰۰	۰/۰۰	۰/۰۰	۰/۰۰	۰/۰۰	۰/۰۰	۰/۰۰	۰/۰۰	۰/۳۳	۰/۰۰	۰/۰۰	۰/۰۰	۹۲/۵۹
	۵۲		۰/۱۵	۰/۰۴	۹۱/۴۲	۰/۰۶	۰/۰۴	۰/۰۷	۰/۰۰	۰/۰۰	۰/۰۰	۰/۰۰	۰/۰۰	۰/۰۰	۰/۰۰	۰/۰۰	۰/۰۰	۰/۰۰	۰/۰۰	۹۳/۰۱
	۵۳	Magnetite	۰/۰۳	۰/۱۷	۹۱/۸۰	۰/۸۳	۰/۰۰	۰/۰۰	۰/۰۰	۰/۰۰	۰/۰۰	۰/۰۰	۰/۰۰	۰/۰۰	۰/۰۰	۰/۰۰	۰/۰۰	۰/۰۰	۰/۰۰	۹۲/۹۹
	۵۴		۰/۰۲	۰/۱۷	۹۱/۲۰	۱/۰۴	۰/۰۱	۰/۰۰	۰/۰۰	۰/۰۰	۰/۰۰	۰/۰۰	۰/۰۰	۰/۰۰	۰/۰۰	۰/۰۰	۰/۰۰	۰/۰۰	۰/۰۰	۹۲/۸۳
	۵۵		۰/۱۰	۰/۱۱	۹۱/۸۶	۰/۹۰	۰/۰۰	۰/۰۰	۰/۰۰	۰/۰۰	۰/۰۰	۰/۰۰	۰/۰۰	۰/۰۰	۰/۰۰	۰/۰۰	۰/۰۰	۰/۰۰	۰/۰۰	۹۲/۰۹
	۵۶	Calcite	۰/۱۸	۰/۰۱	۰/۰۲	۰/۴۵	۵۴/۱۵	۰/۰۰	۰/۰۰	۰/۰۰	۰/۰۰	۰/۰۰	۰/۰۰	۰/۰۰	۰/۰۰	۰/۰۰	۰/۰۰	۰/۰۰	۰/۰۰	۹۵/۰۱
	۵۷		۰/۰۸	۰/۰۰	۰/۱۳	۰/۰۰	۰/۰۰	۰/۰۰	۰/۰۰	۰/۰۰	۰/۰۰	۰/۰۰	۰/۰۰	۰/۰۰	۰/۰۰	۰/۰۰	۰/۰۰	۰/۰۰	۰/۰۰	۹۵/۱۲
	۵۸	Dolomite	۰/۰۶	۰/۰۳	۰/۰۰	۰/۰۰	۰/۰۰	۰/۰۰	۰/۰۰	۰/۰۰	۰/۰۰	۰/۰۰	۰/۰۰	۰/۰۰	۰/۰۰	۰/۰۰	۰/۰۰	۰/۰۰	۰/۰۰	۹۶/۲۲
	۵۹		۰/۰۶	۰/۰۰	۰/۱۲	۰/۰۰	۰/۰۰	۰/۰۰	۰/۰۰	۰/۰۰	۰/۰۰	۰/۰۰	۰/۰۰	۰/۰۰	۰/۰۰	۰/۰۰	۰/۰۰	۰/۰۰	۰/۰۰	۹۶/۴۵
	۶۰		۴۰/۴۹	۱/۱۹	۳/۲۱	۳/۰۳۶	۰/۰۰	۰/۰۸	۸/۸۴	۰/۰۰	۰/۰۰	۰/۰۰	۰/۰۰	۰/۰۰	۰/۰۰	۰/۰۰	۰/۰۰	۰/۰۰	۰/۰۰	۹۵/۳۶
	۶۱	Phlogopite	۴۰/۱۲	۱/۱۰	۱/۱۰	۳/۰۳۶	۰/۰۰	۰/۱۷	۸/۷۰	۰/۰۳	۰/۰۰	۰/۰۰	۰/۰۰	۰/۰۰	۰/۰۰	۰/۰۰	۰/۰۰	۰/۰۰	۰/۰۰	۹۴/۸۷
	۶۲		۴۰/۹۰	۱/۰/۶۷	۴/۶۲	۳/۱/۵۸	۰/۰۰	۰/۰۹	۶/۰/۵۶	۰/۰۲	۰/۰۰	۰/۰۰	۰/۰۰	۰/۰۰	۰/۰۰	۰/۰۰	۰/۰۰	۰/۰۰	۰/۰۰	۹۳/۱۷
	۶۳	Chlorite	۴۱/۱۰	۴/۳۶	۱/۲۰	۴/۱۲۰	۰/۰۰	۰/۰۴	۰/۰۳	۰/۰۶	۰/۰۰	۰/۰۰	۰/۰۰	۰/۰						

### ادامه جدول ۳.

Sample No.	Point No.	Mineral	SiO <sub>2</sub>	Al <sub>2</sub> O <sub>3</sub>	FeO	MgO	CaO	Na <sub>2</sub> O	K <sub>2</sub> O	TiO <sub>2</sub>	P <sub>2</sub> O <sub>5</sub>	MnO	Cr <sub>2</sub> O <sub>3</sub>	CoO	NiO	V <sub>2</sub> O <sub>3</sub>	SO <sub>2</sub>	CuO	ZnO	Total
	۲۹		۰/۰۷	۰/۱۸	۹/۰۸۸	۱/۳۳	۰/۰۰	۰/۰۰	۰/۰۰	۰/۰۰	۰/۰۰	۰/۱۱	۰/۰۰	۰/۰۰	۰/۱۶	۰/۰۰	۰/۰۰	۰/۰۰	۰/۰۰	۹۲/۷۵
	۳۰	Magnetite	۰/۱۲	۰/۱۷	۹/۱۲۴	۱/۲۲	۰/۰۰	۰/۰۰	۰/۰۴	۰/۰۳	۰/۰۰	۰/۰۶	۰/۰۰	۰/۰۰	۰/۰۰	۰/۰۰	۰/۰۰	۰/۰۰	۰/۰۰	۹۲/۷۶
	۳۱		۰/۱۰	۰/۱۲	۹/۲/۴۵	۱/۲۱	۰/۰۰	۰/۰۰	۰/۰۰	۰/۰۰	۰/۰۰	۰/۰۹	۰/۰۰	۰/۰۰	۰/۷۱	۰/۰۰	۰/۰۰	۰/۰۰	۰/۰۰	۹۶/۰۹
	۳۲		۳/۴/۱	۰/۰۰	۲/۰/۷	۵/۸/۲۵	۰/۰۰	۰/۰۰	۰/۰۰	۰/۰۳	۰/۰۰	۰/۰۶	۰/۰۰	۰/۰۰	۰/۰۰	۰/۰۰	۰/۰۰	۰/۰۰	۰/۰۰	۹۴/۷۵
	۳۳	Forsterite	۳/۴/۴۴	۰/۰۰	۲/۰/۳	۵/۸/۵۳	۰/۰۲	۰/۱۰	۰/۰۰	۰/۰۳	۰/۰۶	۰/۰۷	۰/۰۰	۰/۰۰	۰/۲۱	۰/۰۰	۰/۰۰	۰/۰۰	۰/۰۰	۹۵/۷۹
SM-B-55-42	۳۴		۳/۵/۴۹	۰/۰۳	۱/۹۰	۵/۹/۴۵	۰/۰۵	۰/۰۶	۰/۰۳	۰/۰۲	۰/۰۵	۰/۰۰	۰/۰۰	۰/۰۰	۰/۰۴	۰/۰۴	۰/۰۰	۰/۰۰	۰/۰۰	۹۷/۵۲
	۳۵		۰/۰۷	۰/۰۶	۹/۲/۷۶	۰/۰۳	۰/۰۴	۰/۰۰	۰/۱۳	۰/۰۳	۰/۰۶	۰/۱۰	۰/۰۰	۰/۰۵	۰/۰۰	۰/۰۰	۰/۰۰	۰/۰۰	۰/۰۰	۹۵/۱۲
	۳۶		۰/۶۷	۰/۱۱	۸/۹/۵۶	۱/۰/۵	۰/۰۰	۰/۰۰	۰/۰۰	۰/۰۳	۰/۰۷	۰/۰۸	۰/۰۰	۰/۰۰	۰/۰۰	۰/۰۰	۰/۰۰	۰/۰۰	۰/۰۰	۹۱/۸۷
	۳۷	Magnetite	۰/۱۳	۰/۱۰	۹/۱/۸۸	۱/۲/۲	۰/۰۰	۰/۰۰	۰/۰۰	۰/۰۰	۰/۰۰	۰/۰۶	۰/۰۰	۰/۰۰	۰/۸۷	۰/۰۰	۰/۰۰	۰/۰۰	۰/۰۰	۹۴/۳۰
	۳۸		۰/۱۱	۰/۱۲	۹/۰/۴۰	۱/۳/۳	۰/۰۰	۰/۰۰	۰/۰۰	۰/۰۰	۰/۰۹	۰/۰۰	۰/۰۰	۰/۰۰	۰/۰۰	۰/۰۰	۰/۰۰	۰/۰۰	۰/۰۰	۹۲/۰۹
	۳۹		۰/۱۳	۰/۱۰	۹/۱/۵۱	۱/۱/۱	۰/۰۰	۰/۰۰	۰/۰۰	۰/۰۰	۰/۰۹	۰/۰۰	۰/۰۰	۰/۰۰	۰/۱۶	۰/۰۲	۰/۰۰	۰/۰۰	۰/۰۰	۹۳/۱۲

ترکیب تک کلینوپیروکسن و کلینوپیروکسن-مذاب ارائه شده است (Nimis and Taylor, 2000). روش تک کلینوپیروکسن بر اساس محاسبه میزان فعالیت انسنتاتیت در کلینوپیروکسن و بدون دخالت ترکیب مذاب طراحی شده است و همواره بر پایه تعادل Ca-Mg می‌باشد (Putirka, 2008). در این پژوهش برای تخمین شرایط فشار و دما به روش تک کلینوپیروکسن از برنامه Winpyrox (Yavuz, 2013) استفاده شد. بر اساس رابطه زیر برای تخمین شرایط دما و فشار تبلور پیروکسن در اسکارن معنی جو اقدام شده است:

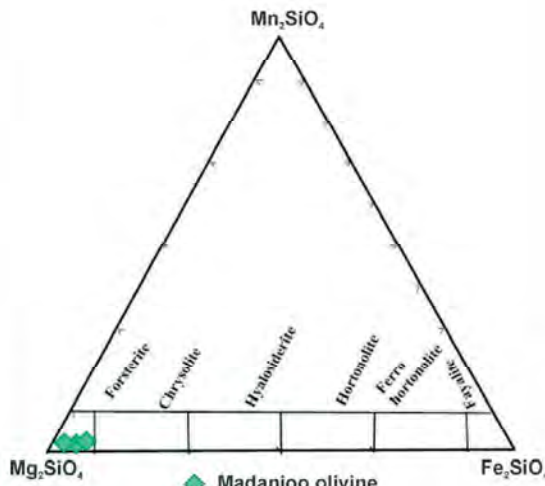
$$T(K) = 93100 + 544P(kbar)/61.1 + 36.6(XTi^{cpx}) + 10.9(XFe^{cpx}) - 0.95(XAl^{cpx} + XCr^{cpx} - XNa^{cpx} - XK^{cpx}) + 0.395[\ln(aEn^{cpx})^2]$$

بر اساس این معادله دمای تشکیل کلینوپیروکسن‌های اسکارن معنی جو بین ۴۵۸ تا ۶۸۹ درجه سانتی‌گراد و فشار ۲/۲۱ کیلوبار برآورد شده است. شکل (۱۰-الف) نمودار فشار-دما را برای کلینوپیروکسن‌های اسکارن معنی جو نشان می‌دهد.

### مطالعه میانبارهای سیال

در سامانه‌های ماقمایی-گرمایی، ماقماها از نظر تأمین حرارت، سیالات ماقمایی و فلزات دارای اهمیت می‌باشند. پتانسیل کانه‌زایی این ماقماها تابع ترکیب سیالات ماقمایی و زمان خروج آن‌ها از ماقما است که در سیالات و مذاب‌های درگیر ثبت می‌شود (John et al., 2010). بررسی دمای تشكیل کانسارها، شوری و ترکیب شیمیایی سیالات کانه‌ساز و فشار حاکم بر محیط کانه‌زایی در شناخت نوع کانه‌زایی و

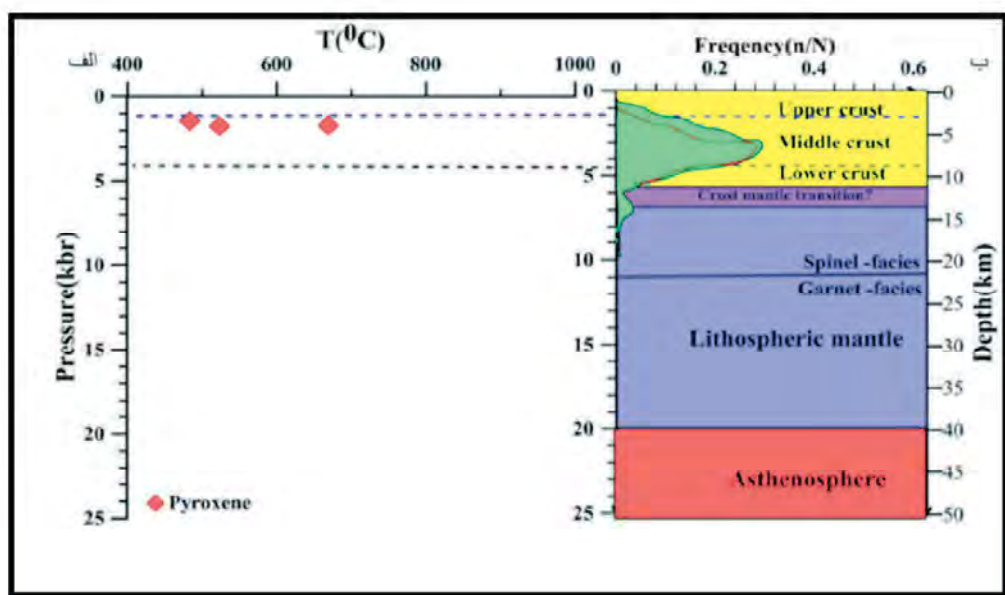
نتایج تجزیه‌های شیمیایی MgO و SiO<sub>2</sub> بیشترین درصد وزنی این کانی را تشکیل می‌دهند. مقدار MgO از ۵۸/۲۵ درصد تا ۵۹/۴۵ درصد و SiO<sub>2</sub> از ۳۴/۴۹ تا ۳۴/۰۱ تغییر می‌کند. در نمودار مثلثی Mn<sub>2</sub>SiO<sub>4</sub> (تفروئیت)، Fe<sub>2</sub>SiO<sub>4</sub> (فایالیت)، (Deer et al., 1996) هر سه نقطه در گستره فورسترت قرار می‌گیرند (شکل ۹).



شکل ۹. نمودار مثلثی فورسترت-فایالیت-تفروئیت و موقعیت نمونه‌ها در گستره فورسترت

### زمین دما-فشار-سنجی بر اساس ترکیب پیروکسن

ترکیب شیمیایی کلینوپیروکسن‌های تابع از تغییرات شرایط فشار و دما است (Yavuz, 2013; Aydin et al., 2009). براین اساس، از ترکیب شیمیایی پیروکسن‌ها برای تعیین دما و فشار-سنج‌های حامل آن‌ها استفاده می‌شود. دو نوع مدل دما-فشار-سنج بر اساس



شکل ۱۰. (الف) نمودار دما-فشار برای کلینوپیروکسن‌های اسکارن معدن جو، (ب) تصویر شماتیک از ساختار لیتوسفر (کلینوپیروکسن‌ها در عمق یک تا ۲/۵ کیلومتری متبلور شده‌اند) (Putirka, 2008)

تعداد خیلی کم در نمونه‌ها مشاهده شده است. از نظر تعداد فاز، چهار نوع میانبار سیال در این کانی‌ها مشاهده شده است، میانبارها عبارت از میانبارهای تک‌فازی مایع (L)، میانبارهای دوفازی غنی از مایع (L+V)، میانبارهای دوفازی غنی از گاز (V+L)، میانبارهای سه‌فازی مایع-گاز-هالیت (L+V+S) می‌باشند (شکل ۱۱-الف، ب، پ، ت).

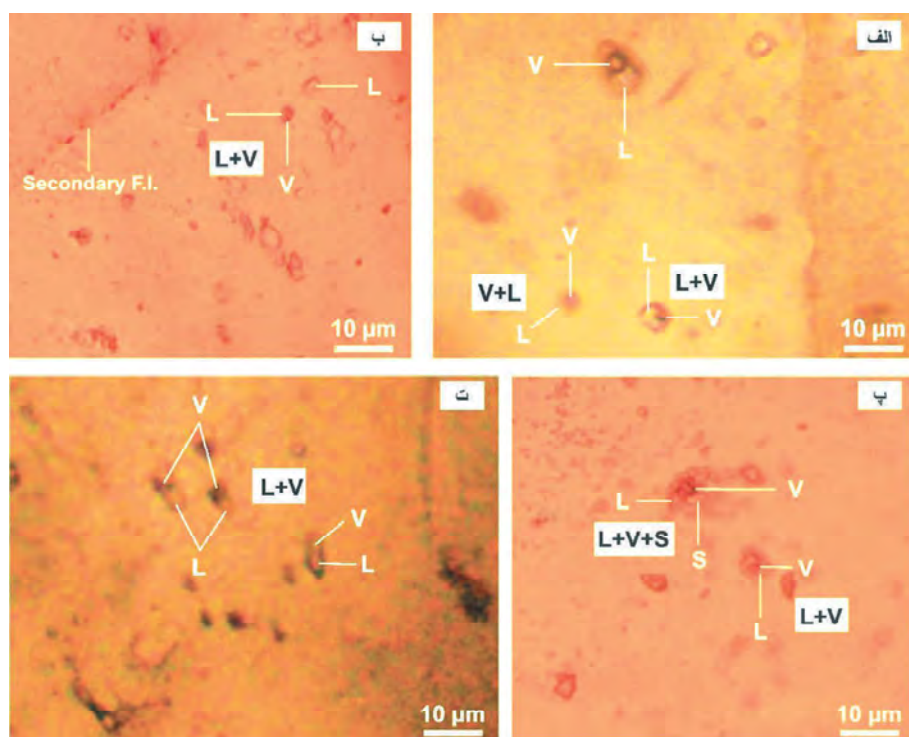
### ریزدماسنجی میانبارهای سیال

روش ریزدماسنجی میانبارهای سیال بر پایه مشاهده دقیق و تشخیص تغییرات فازی درون میانبارهای سیال هنگام گرمایش و سرمایش است. با اندازه‌گیری دقیق دمایی که این تغییرات در آن رخ می‌دهد، می‌توان به وضعیت سیال‌ها در زمان به دام افتادن پی بردن (Shepherd et al., 1985) نتایج حاصل از مطالعات ریزدماسنجی برای کانی‌های گارنت، کلسیت، پیروکسن و ترمولیت از پهنه اسکارن آهن معدن جو به ترتیب در جدول ۴ آورده شده است. نتایج مطالعات گرمایش سیالات نشان می‌دهد، تغییرات دمای همگن شدن میانبارها به فاز مایع برای پیروکسن مرحله پیش‌رونده از ۳۳۰ تا ۳۸۰ درجه سانتی‌گراد، گارنت پیش‌رونده از ۳۹۰ تا ۴۱۰ درجه سانتی‌گراد، مرحله تاخیری از ۱۷۰ تا ۲۰۰ درجه سانتی‌گراد، ترمولیت تاخیری ۲۷۵ تا ۳۰۰ درجه سانتی‌گراد، کلسیت تاخیری از

ارائه مدل اکتشافی بسیار مهم است (Beane, 1983). در گستره معدن جو برای بررسی میانبارهای سیال در کانی‌های گارنت، پیروکسن، ترمولیت و کلسیت، تعداد هفت نمونه از پهنه‌های مختلف اسکارن معدن جو انتخاب شد. این کانی‌ها شامل: ۱- گارنت، از پهنه‌های گارنت و پیروکسن-گارنت اسکارن، ۲- پیروکسن، از پهنه پیروکسن اسکارن، ۳- ترمولیت، از پهنه ترمولیت-اکتینولیت اسکارن و ۴- کلسیت از پهنه‌های منیتیت و گارنت-پیروکسن اسکارن می‌باشد. در این پژوهش، تعداد ۷۰ میانبار سیال اولیه مورد آزمایش ریزدماسنجی قرار گرفت.

### پتروگرافی میانبارهای سیال

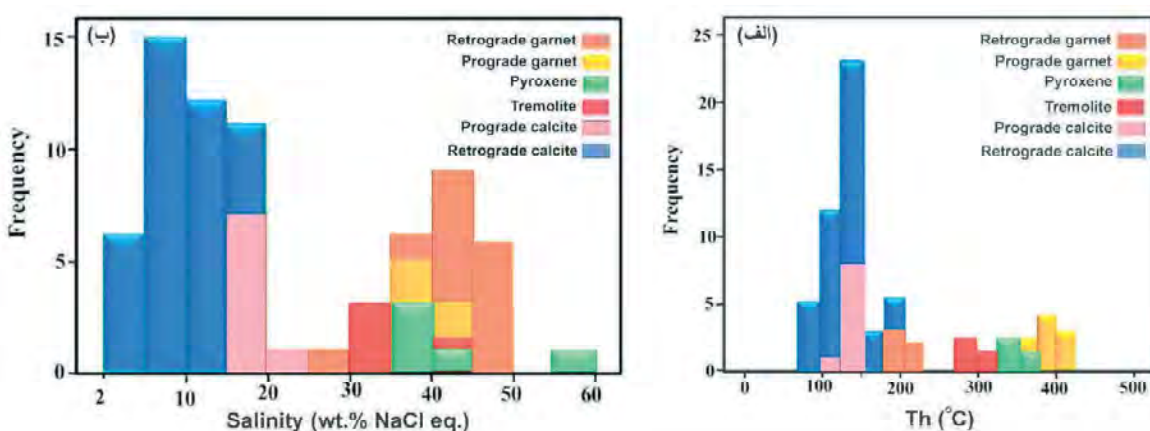
پتروگرافی، یکی از مهم‌ترین مراحل مطالعه میانبارهای سیال است. میانبارهای سیال در نمونه‌های معدن جو دارای اندازه‌های سه تا ۲۰ میکرون هستند. میانبارهای سیال از نظر شکل ظاهری به صورت‌های بی‌شکل، نیمه‌شکل دار، تمام‌شکل دار، کشیده و بلور منفی می‌باشند. در برخی از میانبارهای سیال پدیده باریک‌شدنی نیز دیده می‌شود. از دید ژنتیکی، میانبارهای سیال از نوع میانبارهای اولیه (P) و ثانویه (S) تشخیص داده شده‌اند. این میانبارها در همه نمونه‌ها بیشتر دارای دو فاز ترکیبی مایع و گاز هستند و میانبارهای تک‌فازی مایع و سه‌فازی جامد-مایع-گاز به



شکل ۱۱. تصاویر میانبارهای سیال از کانی‌های اسکارن معدن‌جو. (الف) میانبارهای سیال دوفازی (L+V)، (V+L) در کلسیت، (ب، پ) میانبارهای سیال تک‌فازی (L)، دوفازی (L+V) و (V+L+S) در گارنت، (ت) میانبارهای سیال دوفازی (L+V) در پیروکسن

تاخیری از ۲۹/۵۳ تا ۴۹/۰۵، ترمولیت از ۴۰/۳۸ تا ۴۲/۳۸، کلسیت تاخیری از ۱۶/۳۳ تا ۲۷/۱۴ و برای کلسیت پس از کانه‌زائی از ۱۵/۳۲ تا ۲۰/۱۱ درصد وزنی معادل نمک طعام در تغییر است. کمینه شوری با مقدار ۲/۰۱ در کلسیت و بیشینه آن با مقدار ۵۷/۵۷ درصد وزنی معادل نمک طعام در پیروکسن ثبت شده است (شکل ۱۲-ب).

۹۵ درجه سانتی‌گراد و کلسیت پس از کانه‌زائی از ۱۳۵ تا ۱۹۰ درجه سانتی‌گراد تغییر می‌کند. در کل دامنه تغییرات دما برای تمام کانی‌ها از ۹۵ تا ۴۱۰ درجه سانتی‌گراد است. مقدار کمینه دما برای کلسیت و مقدار بیشینه آن برای گارنت مرحله پیشرونده ثبت شده است (شکل ۱۲-الف). مقدار شوری میانبارهای سیال برای پیروکسن از ۳۷/۱۷ تا ۵۷/۵۷، گارنت پیش‌رونده از ۳۳/۰۲ تا ۴۲/۳۸، گارنت



شکل ۱۲. مطالعات ریزدماسنجی میانبارهای سیال در اسکارن آهن معدن‌جو. (الف) نمودار ستونی فراوانی دمای همگن شدن، (ب) نمودار ستونی فراوانی شوری میانبارهای سیال در کانی‌های شاخص اسکارن

جدول ۴. نتایج مطالعات ریزدماسنجی میانوارهای سیال برای کلسیت، گارنت، پیروکسن و ترمولیت در اسکارن آهن معدن جو

Sample-Point	Size ( $\mu\text{m}$ )	Type	Phases	$T_e$ ( $^{\circ}\text{C}$ )	$T_m$ (ice) ( $^{\circ}\text{C}$ )	$T_h$ ( $^{\circ}\text{C}$ )	Salinity (wt. % NaCl eq.)
گارنت							
SM-13							
۱	۳	P	L+V	-۱۳۵	-۴۶	۱۹۵	۴۳/۵۸
۲	۵	P	L+V	-۱۰۹	-۴۳	۲۰۰	۴۰/۱۴
۳	۴	P	L+V	-۱۰۰	-۵۰	۱۹۰	۴۹/۰۴
۴	۳	P	L+V	-۱۱۰	-۴۵	۱۸۵	۴۲/۳۷
۵	۴	P	L+V	-۱۱۵	-۵۰	۱۸۰	۴۹/۰۵
۶	۳	P	L+V	-۸۵	-۴۰	۱۷۰	۳۷/۱۷
۷	۵	P	L+V	-۹۵	-۴۸	۱۹۰	۴۶/۱۸
۸	۴	P	L+V	-۹۰	-۴۵	۱۸۰	۴۲/۳۸
۹	۳	P	L+V	-۸۵	-۴۵	۱۸۵	۳۲/۰۲
۱۰	۷	P	V+L	-۷۵	-۳۰	۲۰۰	۲۹/۵۳
۱۱	۵	P	L+V	-۹۵	-۴۵	۴۱۰	۳۲/۰۲
۱۲	۴	P	L+V+S	-۱۱۰	-۴۵	۴۰۵	۴۲/۳۸
۱۳	۵	P	L+V	-۱۰۰	-۴۵	۴۰۰	۴۲/۳۸
۱۴	۶	P	L+V	-۱۰۰	-۴۵	۳۹۰	۳۲/۰۲
۱۵	۷	P	L+V	-۱۰۵	-۴۸	۳۹۵	۳۵/۴۰
کلسیت							
SM-13							
۱	۳	P	L+V	-۳۵	-۶	۱۲۵	۹/۴۹
۲	۷	P	L+V	-۴۰	-۱۱	۱۱۰	۱۵/۲۲
۳	۵	P	L+V	-۳۵	-۵	۱۰۵	۸/۱۳
۴	۳	P	L+V	-۳۲	-۸	۹۵	۱۲/۰۰
۵	۴	P	L+V	-۳۵	-۵	۱۰۰	۸/۱۳
۶	۷	P	L+V	-۴۲	-۱۵	۱۳۰	۱۹/۰۸
۷	۷	P	L+V	-۳۷	-۱۲	۱۳۵	۱۶/۳۳
۸	۶	P	L+V	-۳۷	-۱۱	۱۴۰	۱۵/۲۲
کلسیت							
SM-55-67							
۹	۴	P	L+V	-۴۰	-۱۰	۱۲۰	۲۷/۱۴
۱۰	۵	P	L+V	-۳۵	-۸	۱۲۵	۱۲/۰۰
۱۱	۴	P	L+V	-۲۸	-۸	۹۵	۱۲/۰۰
۱۲	۴	P	L+V	-۲۳	-۱۲	۱۰۰	۱۶/۳۳
۱۳	۵	P	L+V	-۳۵	-۹	۱۰۵	۱۳/۱۶
۱۴	۵	P	L+V	-۲۷	-۱۱	۹۵	۱۵/۲۲
۱۵	۵	P	L+V	-۳۸	-۴	۱۱۰	۶/۷۱
۱۶	۴	P	L+V	-۳۰	-۲	۱۰۰	۳/۶۵
۱۷	۵	P	L+V	-۳۳	-۸	۹۵	۱۲/۰۰
۱۸	۵	P	L+V	-۳۲	-۷	۹۵	۱۰/۷۷
۱۹	۶	P	L+V	-۴۵	-۲	۱۹۰	۳/۶۵
۲۰	۵	P	L+V	-۳۷	-۱	۱۸۵	۲/۰۱
۲۱	۵	P	L+V	-۳۵	-۸	۱۸۵	۹/۴۹
۲۲	۵	P	L+V	-۴۰	-۲	۱۴۳	۳/۶۵
۲۳	۴	P	L+V	-۳۷	-۴	۱۳۷	۶/۷۱
۲۴	۵	P	L+V	-۳۷	-۵	۱۳۰	۸/۱۳
۲۵	۵	P	L+V	-۳۰	-۴	۱۳۲	۶/۷۱
۲۶	۴	P	V+L	-۴۲	-۴	۱۳۰	۶/۷۱
۲۷	۶	P	V+L	-۳۵	-۳	۱۲۵	۵/۲۲

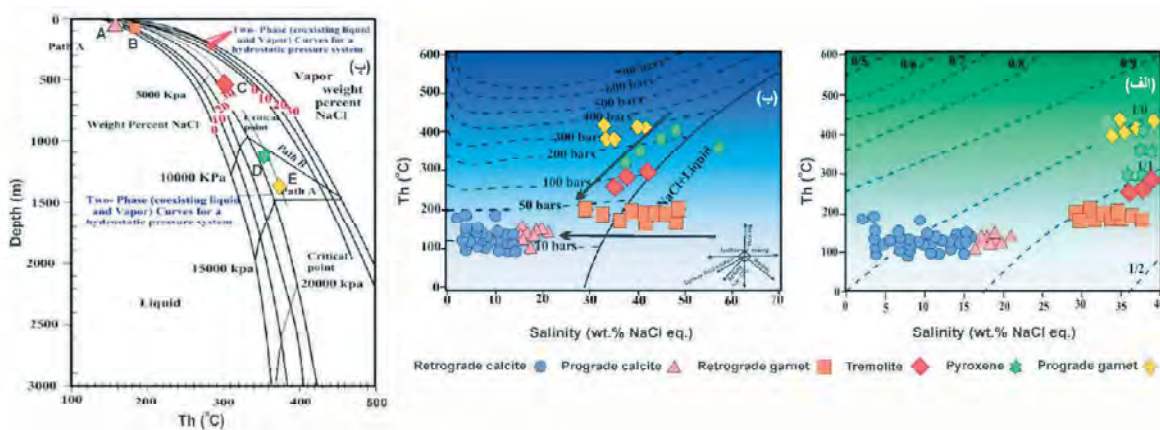
ادامه جدول ۴.

Sample-Point	Size ( $\mu\text{m}$ )	Type	Phases	$T_e$ (°C)	$T_m$ (ice) (°C)	$T_h$ (°C)	Salinity (wt. % NaCl eq.)
۲۸	۶	P	V+L	-۳۵	-۵	۱۲۷	۸/۱۳
۲۹	۵	P	L+V	-۳۶	-۲	۱۲۷	۳/۶۵
۳۰	۶	P	L+V	-۳۸	-۴	۱۳۰	۶/۷۱
۳۱	۷	P	L+V	-۳۵	-۸	۱۲۵	۱۲/۰۰
۳۲	۷	P	L+V	-۳۲	-۷	۱۲۰	۱۰/۷۷
۳۳	۶	P	L+V	-۳۴	-۶	۱۲۰	۹/۴۹
۳۴	۵	P	L+V	-۳۱	-۵	۱۱۵	۸/۱۳
۳۵	۶	P	L+V	-۴۰	-۱۰	۱۳۵	۱۴/۲۷
۳۶	۶	P	L+V	-۳۷	-۷	۱۴۰	۱۰/۷۷
۳۷	۵	P	L+V	-۳۳	-۴	۱۲۵	۶/۷۱
۳۸	۵	P	L+V	-۲۷	-۲	۱۲۰	۳/۶۵
۳۹	۱۰	P	L+V+S	-۴۲	-۱۱	۱۶۰	۱۵/۲۲
۴۰	۱۲	P	V+L	-۴۰	-۹	۱۳۰	۱۳/۱۶
۴۱	۵	P	L+V	-۴۳	-۱۷	۱۳۵	۲۰/۷۲
۴۲	۵	P	L+V	-۳۴	-۱۲	۱۳۰	۱۶/۳۳
۴۳	۴	P	L+V	-۳۳	-۱۳	۱۲۷	۱۷/۲۹
۴۴	۷	P	L+V	-۳۵	-۱۵	۱۲۴	۱۹/۰۸
۴۵	۶	P	L+V	-۳۵	-۱۴	۱۲۵	۱۸/۲۰
SM-01				پیروکسن			
۱	۶	P	L+V	-۹۵	-۴۲	۳۵۰	۳۹/۱۰
۲	۴	P	L+V	-۹۰	-۴۷	۳۸۰	۴۴/۸۵
۳	۳	P	L+V	-۹۴	-۴۵	۳۷۵	۴۲/۳۸
۴	۵	P	L+V	-۹۲	-۵۵	۳۵۵	۵۷/۵۷
۵	۴	P	L+V	-۷۰	-۴۰	۳۳۰	۳۷/۱۷
SM-11				ترمولیت			
۱	۵	P	L+V	-۷۵	-۴۳	۳۰۰	۴۲/۳۸
۲	۴	P	L+V	-۷۰	-۴۰	۲۸۵	۳۷/۱۷
۳	۳	P	L+V	-۶۵	-۳۸	۲۷۵	۳۵/۴۰

## بحث

براساس نمودار دما-فشار-عمق (Haas, 1971)، کلسیت و گارنت تاخیری در عمق ۱۰۰ تا ۱۵۰ متر، ترمولیت در عمق ۶۰۰ متر، پیروکسن در عمق ۱۲۰۰ و گارنت پیش‌رونده در عمق ۱۴۰۰ متر تشکیل شده است. براساس مقادیر کمینه و بیشینه دمای همگن‌شدن و شوری، عمق تقریبی کانه‌زائی به ترتیب ۱۰۰ متر و ۱۴۰۰ متر تخمین زده می‌شود (شکل ۱۳-پ). لازم به ذکر است که عمق تخمینی برای تبلور پیروکسن بر اساس داده‌های میانبار سیال (۱/۲ کیلومتر) با عمق محاسبه شده براساس دما-فشارستنجی پیروکسن (یک تا ۲/۵ کیلومتر، شکل ۱۰-الف) تایید می‌شود.

چگالی، فشار و عمق بهدام افتادن میانبارهای سیال با استفاده از نمودارهایی که براساس دمای همگن‌شدن و شوری میانبارهای سیال برای محاسبه چگالی، فشار بخار و عمق بهدام افتادن میانبارهای سیال طراحی شده است (Driesner and Heinrich, 2007; Wilkinson, 2001) چگالی سیال‌ها برای همه کانی‌ها از یک تا ۱/۱ تغییر می‌کند و فشار بخار در دامنه‌ی ۱۰ تا ۴۰۰ بار قرار می‌گیرد، پیروکسن و گارنت پیش‌رونده تحت فشار بخار ۱۰۰ تا ۴۰۰ بار و ترمولیت، گارنت تاخیری و کلسیت تاخیری تحت فشار بخار کمتر از ۱۰۰ بار تشکیل شده‌اند (شکل ۱۳-الف، ب).



شکل ۱۳. (الف) نمودار دما-شوری برای تعیین چگالی محلول‌های  $\text{NaCl}-\text{H}_2\text{O}$  اشباع از بخار (Wilkinson, 2001)، (ب) نمودار تعیین فشار بخار محلول بر حسب دمای همگن شدن و شوری (Driesner and Heinrich, 2007)، آمیختگی سیال‌ها، رقیق شدگی سیال و جوشش از عوامل مهم در نهشت کانی‌ها در اسکارن معدن جو هستند، (پ) نمودار دما-فشار-عمق جهت تعیین عمق تشکیل کانسار (Haas, 1971)، (در نمودار عمق تقریبی به دام افتادن میانبارهای سیال در کانی‌های شاخص اسکارن معدن جو مشخص شده است)

### منشاء و تکامل سیال کانسارساز

سیال و کاهش اتحلال پذیری عناصر کانه‌ساز و نهشت ماده معدنی می‌شود (تقی‌بور و بذرافشان، ۱۳۹۴؛ Drummond and Ohmoto, 1985) به عبارتی سیال گرمابی و شور اولیه با سیال با درجه شوری پایین‌تر (آب‌های جوی و آب‌های سازندی) در انتهای مراحل کانه‌زایی مخلوط شده است. همچنین وجود بلورهای نمک  $\text{NaCl}$  در میانبارهای سیال نشان می‌دهد، کاتیون‌های آهن از طریق بون‌های کلر منتقل شده‌اند. میزان کلرید محلول‌های متاسوماتیکی به احتمال زیاد بیشترین کنترل‌کننده انتقال و تفسیست آهن در اسکارن‌ها است (Meinert, 1992). بر اساس نتایج مطالعه میانبارهای سیال سه مرحله پارازنیک اصلی تشکیل اسکارن و نهشت مواد معدنی در کانسار معدن جو شناخته شده است: ۱) مرحله پیش‌رونده با تشکیل پیروکسن و گارنت‌های پیش‌رونده در دمای ۳۲۰ تا ۴۱۰ درجه سانتی‌گراد با شوری سیال بین ۳۳ تا ۵۸ درصد وزنی معادل نمک  $\text{NaCl}$  توسعه یافته است، ۲) مرحله پس‌رونده با پیدایش گارنت‌های تاخیری، ترمولیت-اکتینولیت و کلسیت مرحله تاخیری در دمای ۱۲۰ تا ۳۰۰ درجه سانتی‌گراد با شوری سیال ۱۶ تا ۴۹ درصد وزنی معادل  $\text{NaCl}$  تشکیل شده است و ۳) مرحله پس از کانه‌زایی با رگه‌های کلسیت و بندرت کوارتز که در دمای ۹۵ تا ۱۹۰ درجه سانتی‌گراد با دامنه شوری ۲ تا ۱۵ درصد وزنی معادل  $\text{NaCl}$  بوجود آمده است.

در نهشت کانی‌ها و تشکیل ذخایر معدنی، عوامل تغییر دما (سرد شدن سیالات کانه‌ساز)، تغییر فشار، تغییرات شیمیابی ناشی از واکنش سیال کانه‌ساز با سنگ میزبان و تغییرات شیمیابی ناشی از پدیده آمیختگی سیال‌های ماقمابی و جوی و جوشش سیال از اهمیت بالایی برخوردار هستند (Barnes, 1997). جوشش و آمیختگی سیالات دو عامل مهمی هستند که همواره باعث فوق اشباع شدن سریع سیالات ماقمابی و ایجاد شرایط لازم جهت تfulnessت کانه‌ها در سنگ‌های میزبان می‌شوند (Wilkinson, 2001). بر اساس داده‌های ریزدما‌سنجی، پراکنش شوری‌ها در مقابل دمای همگن شدگی در میانبارهای سیال اسکارن معدن جو، روندهای متفاوت آمیختگی هم‌دما، جوشش و رقیق شدگی سطحی سیال مشاهده می‌شود (شکل ۱۳-ب). فرآیندهای آمیختگی هم‌دما و رقیق شدگی سطحی سیالات از عوامل مهم در نایابی کاری کمپلکس‌های کلریدی و نهشت آهن در پهنه‌های اسکارنی و به دنبال آن تشکیل فازهای سولفیدی و اکسیدی در مراحل پایانی کانه‌زایی است. پدیده جوشش سیال نیز در نتیجه کاهش ناگهانی فشار در شکستگی‌ها و گسل‌ها ایجاد می‌شود. شواهدی از قبیل وجود ساختاربرشی و میانبارهای سیال غنی از بخار رخداد احتمالی جوشش سیال را در پهنه معدن جو تایید می‌کنند. پدیده آمیختگی سیال‌ها موجب کاهش دمای سیستم، کاهش دمای اتحلال

بر اساس مقادیر غلظت عناصر اصلی و کمیاب، شیمی منیتیت‌های معدن جو در گستره کانسارهای آهن اسکارن قرار می‌گیرند (شکل ۸-ث). در ترکیب الیوین مقدار  $MgO$  از ۳۴/۴۹ تا ۳۴/۰۱٪ درصد تا ۵۷/۴۵٪ درصد  $SiO_2$  از ۲۵/۵۸٪ تغییر می‌کند و از نظر ترکیب شیمیابی در گستره فورستریت هستند (شکل ۹). مطالعات انجام شده روی آنومالی‌های آهن غربی (آنومالی‌های A، A'، C، جنوبی و شمالی)، مرکزی (آنومالی‌های باگک و دردوی) و شرقی (آنومالی سنجدک A) نشان می‌دهد، آنومالی‌های آهن A، A' و C جنوبی از نوع اسکارن کلسیمی هستند و با حرکت به سوی شرق، اسکارن کلسیمی به منیزیمی تغییر می‌یابد به طوری که آنومالی‌های C شمالی، باگک، دردوی و سنجدک A ترکیب منیزیمی دارند (Golmohammadi et al., 2015؛ مظہری و همکاران، ۱۳۹۵). کانه‌زایی آهن بغل بید که از آنومالی‌های شرقی آهن سنجان است از نوع گرمابی معروفی شده است (سریوزی حسین‌آبادی و همکاران، ۱۳۹۹). اگرچه ویژگی‌های زمین‌شناسی، کانی‌شناسی و ژئوشیمیابی آنومالی آهن معدن جو بی‌شباهت با سایر آنومالی‌های آهن در ناحیه معدنی سنجان نیست، با وجود این قربت آن به آنومالی سنجدک A بیشتر است و ترکیب منیزیمی دارد.

## مقایسه کانسار آهن معدن جو با سایر کانسارهای آهن در ناحیه سنجان

در گستره معدن جو، کانه‌زایی آهن (بیشتر به صورت منیتیت) با ساختار توده‌ای، نواری، رگه-رگچه‌ای، برشی و دانه‌پراکنده در سنگ‌های میزان رسوبی دگرگون شده (بیشتر سنگ‌های آهکی-دولومیتی) در مرحله عبور از فاز پیش‌رونده است (شکل ۴-الف-ج). توده‌های نفوذی و ساختارهای زمین‌شناسی از قبیل گسل‌ها و درزهای مجراهایی برای عبور سیال کانه‌ساز هستند و در خداد کانه‌زایی نقش مهمی دارند. اسکارن معدن جو بر اساس نوع و درصد کانه‌زایی شاخص به مناطق مختلف تقسیم شده است. ترکیب گارنت‌های معدن جو در گستره آندرادیت-گروسولار (بیشتر آندرادیت) و ترکیب پیروکسن‌ها در گستره دیوپسید-هدنبرگیت (بیشتر دیوپسید) و در گستره اسکارن‌های آهن دار قرار می‌گیرند (شکل‌های ۷-پ، ۸-پ). ترکیب اجزای گارنت‌های معدن جو Andradit: 49.82-83.60، Grossular: 10.44-42.38، Spessartine: 0.26-0.83 و پیروکسن معدن جو Wollastonite: 39.18-50.77، Enstatite: 33.99-50.69، Forsterite: 4.89-16.43 میان آن میان ۴۹.۸۲٪ درصد و ۴۲.۳۸٪ پیروکسن در نوسان است. در آنومالی آهن سنجدک A تغییرات ترکیب گارنت‌ها از مرکز به حاشیه برای آندرادیت از ۴۲/۶ تا ۴۲/۰ درصد، برای گروسولار از صفر تا ۵۵/۳۲ درصد و برای اسپسارتین از صفر تا ۱/۳۹ درصد در تغییر است و ترکیب پیروکسن‌ها برای دیوپسید از ۶۳ تا ۹۲ درصد، برای هدنبرگیت از چهار تا ۳۵ درصد و برای ژوهانسیت از ۵/۰ تا ۳/۹ درصد تغییر می‌کند (مظہری و همکاران، ۱۳۹۵). ترکیب گارنت‌ها در آنومالی‌های آهن A، A' و C جنوبی، آندرادیت-گراسولار ( $Adr_{50-97} Grs_{0-45}$ ) و ترکیب پیروکسن‌ها هدنبرگیت-دیوپسید ( $Sps-Alm_{2-7}$ ) است. ترکیب پیروکسن‌های آنومالی‌های آهن باگک و C شمالی دیوپسیدی ( $Hd_{75.5} Di_{20.5}$ ) است (Golmohammadi et al., 2015). ترکیب گارنت‌ها در آنومالی آهن دردوی آندرادیت-گراسولار ( $Adradite_{40} Grossular_{38-59}$ ) و ترکیب پیروکسن‌ها در گستره دیوپسید-هدنبرگیت (بیشتر دیوپسید) است (Mehrabi et al., 2021).

## نتیجه‌گیری

کانسار آهن معدن جو در بخش شرقی ناحیه معدنی سنجان در شمال شرق ایران واقع است. سنگ‌های آهکی و دولومیتی کرتاسه بالایی میزان اصلی کانه‌زایی آهن است و در امتداد ساختارهای گسلی با روند NE-SW و در مجاورت با توده‌های نفوذی دگرگون شده‌اند. اگرچه رخنمونی از سنگ‌های نفوذی در معدن جو مشاهده نمی‌شود، اما وجود کانی الیوین در پهنه اسکارن شاهدی بر نزدیکی سنگ‌های میزان به توده‌های نفوذی است و رخنمون توده‌های بیوتیت گرانیت در سه کیلومتری گستره مورد مطالعه، این گفته را تایید می‌کند. تشکیل کانی‌های کالک‌سیلیکاتی بی‌آب الیوین، پیروکسن و گارنت و سیلیکات‌های آب‌دار فلوگوییت، ترمولیت، اکتینولیت، هورنبلنده، اپیدوت و کلریت، اسکارن زایی را تایید می‌کند. کانه‌زایی آهن (بیشتر مگنتیت) به صورت‌های تودهای، نواری، رگه-رگچه‌ای، برشی و دانه‌پراکنده در گذر از

- منشا کانسنگ آهن عنبر کوه استان فارس. فصلنامه زمین‌شناسی ایران، ۹، ۳۴، ۸۵-۱۰۲.
- رحمانی جوانمرد، س.، طهماسبی، ز.، دینگ، ز. واحدی خلجی، ا.، ۱۳۹۹. بررسی رفتار زمین‌شیمیایی عناصر اصلی و کمیاب خاکی در گارنت‌های موجود در سنگ‌های دگرگونی پهنه بروجرد (پهنه سنندج-سیرجان). فصلنامه زمین‌شناسی ایران، ۱۴، ۵۳، ۸۷-۱۰۷.
- سربوزی حسین‌آبادی، آ.، بومری، م. و گل محمدی، ع.، ۱۳۹۹. مطالعه کانه‌زائی آهن بغل‌بید با استفاده از شواهد زمین‌شناسی، کانی‌شناسی و ژئوشیمی، سنگان خواف در شمال خاوری ایران. فصلنامه زمین‌شناسی ایران، ۱۴، ۵۴، ۵۴-۳۷.
- فتوت جامی، م.، ۱۳۹۸. کانی‌شناسی، دگرسانی، ژئوشیمی و الگوی پیدایش کانسار آهن معدن جو، آنومالی شرقی معدن سنگ آهن سنگان، جنوب‌شرقی خواف. پایان‌نامه کارشناسی ارشد، دانشگاه صنعتی شهرورد، ۳۰۲.
- گل محمدی، ع.، مظاہری، س.ا.، ملکزاده شفارودی، آ. و کریم‌پور، م.ح.، ۱۳۹۳. سن‌سنجدی زیرکن با روش U-Pb و ژئوشیمی توده‌های گرانیتی سرخ و برمانی شرق معدن سنگ آهن سنگان خواف. مجله پترولوجی، ۵، ۱۷-۸۳، ۱۰۲.
- مظہری، ن.، ملک زاده شفارودی، آ. و قادری، م.، ۱۳۹۵. ژئوشیمی توده‌های نفوذی، سنگ‌شناسی اسکارن، کانی‌شناسی و شیمی ماده معدنی در آنومالی سنجدک، خاور مجموعه معدنی سنگان خواف. فصلنامه علوم زمین، ۲۵، ۱۰۰، ۲۴۶-۲۳۵.
- Aydin, F., Thompson, R.M., Karsli, O., Uchida, H., Burt, J.B. and Downs, R.T., 2009. C2/c pyroxene phenocrysts from three potassic series in the Neogene alkaline volcanics, NE Turkey: their crystal chemistry with petrogenetic significance as an indicator of P-T conditions. Contribution in Mineralogy and Petrology, 158 (1), 131-147.
- Barnes, H.L., 1997. Geochemistry of hydrothermal ore deposits. 3rd Edition, New York, John Wiley and Sons, 992.
- Beane, R.E., 1983. The Magmatic-meteoric transition. Geothermal Resources Council, Special Report, 13, 245-253.

مرحله اسکارن پیش‌رونده به مرحله تاخیری رخ داده است. ترکیب شیمیایی گارنت، پیروکسین و منیتیت معدن جو در گستره اسکارن‌های آهن دار قرار می‌گیرد. داده‌های میان‌بار سیال نشان می‌دهد، کانی‌های اسکارن پیش‌رونده در دمای ۳۳۰ تا ۴۱۰ درجه سانتی‌گراد و شوری ۳۳ تا ۵۸ درصد وزنی معادل نمک NaCl، کانی‌های اسکارن تاخیری در دمای ۱۲۰ تا ۳۰۰ درجه سانتی‌گراد و شوری ۱۶ تا ۴۹ درصد وزنی معادل NaCl و رگه‌های کلسیت و کوارتز پس از کانه‌زائی در دمای ۹۵ تا ۱۹۰ درجه سانتی‌گراد و شوری دو تا ۱۵ درصد وزنی معادل NaCl تشکیل شده است. به عبارتی آب مامگمایی مسئول تشکیل کانی‌های اسکارن پیش‌رونده دمای بالا و شوری زیاد است. با رقیق شدگی سیال مامگمایی و کاهش دمای آن در نتیجه اختلاط با آب جوی و جوشش سیال شرایط برای تشکیل سیلیکات‌های آبدار مرحله تاخیری و در ادامه برای کلسیت و کوارتز پس از کانه‌زائی فراهم می‌شود. شواهد صحرابی، همیافتدی کانی‌شناسی، شیمی کانی و میان‌بار سیال تیپ کانه‌زائی آهن معدن جو را اگزواسکارن منیزیمی پیشنهاد می‌کند.

## سپاسگزاری

نگارندگان مقاله از دانشکده علوم زمین دانشگاه صنعتی شهرورد که بستره و محیط مناسبی را برای انجام این پژوهش آماده کرده‌اند، سپاسگزاری می‌نمایند. از همکاری معاونت محترم وقت برنامه‌ریزی توسعه و اکتشاف مجتمع معدن سنگ آهن سنگان جناب آقای دکتر عباس گل محمدی و مدیریت محترم اکتشاف جناب آقای مهندس علی اکبر بادامه کمال امتحان را داریم. از مرکز تحقیقات فرآوری مواد معدنی ایران وابسته به سازمان توسعه و نوسازی معدن و صنایع معدنی ایران که تجزیه‌های ریزکاو الکترونی را انجام دادند، قدردانی می‌شود. از دست اندکاران محترم مجله و داورانی که ارزیابی مقاله حاضر را قبول می‌فرمایند، تشکر می‌شود.

## منابع

- تقی‌پور، ب. و بذرافشان، آ.، ۱۳۹۴. سنگ‌شناسی و زمین‌شیمی کمپلکس مامگمایی-دگرگونی توتک و تعیین

- Deer, W.A., Howie, R.A. and Zussman, J., 1996. An introduction to the rock-forming minerals. 2 ed. Hong Kong, Longman, 695.
- Drummond, S.E. and Ohmoto, H., 1985. Chemical evolution and mineral deposition in boiling hydrothermal systems. *Economic Geology*, 80, 126–147.
- Dupuis, C. and Beaudoin, G., 2011. Discriminant diagrams for iron oxide trace element fingerprinting of mineral deposit types. *Mineralium Deposita*, 46(4), 319–335.
- Driesner, T. and Heinrich, C.A., 2007. The system H<sub>2</sub>O-NaCl. Part I: Correlation formulae for phase relations in temperature-pressure-composition space from 0 to 1000 °C, 0 to 5000 bars, and 0 to 1X NaCl. *Geochimica et Cosmochimica Acta*, 71(20), 4880–4901.
- Einaudi, M., Meinert, L.D. and Newberry, R.J., 1981. Skarn deposits. *Economic Geology*, 75th Anniversary Volume, 317–391.
- Golmohammadi, A., Karimpour, M.H., Malekzadeh Shafaroudi, A. and Mazaheri, S.A., 2015. Alteration-mineralization, and radiometric ages of the source pluton at the Sangān iron skarn deposit, northeastern Iran. *Ore Geology Reviews*, 65(2), 545–563.
- Groat, L.A., Turner, D.J. and Evans, R.J., 2014. Gem Deposits. In *Treatise on Geochemistry*, 2nd ed.; Holland, H.D., Ed.; Elsevier: Amsterdam, The Netherlands, 13, 595–622.
- Haas, J.L., 1971. The effect of salinity on the maximum thermal gradient of a hydrothermal system at hydrostatic pressure. *Economic Geology*, 66 (6), 940–946.
- John, D.A., Ayuso, R.A., Barton, M.D., Blakely, R.J., Bodnar, R.J., Dilles, J.H., Gray, Floyd, Graybeal, F.T., Mars, J.C., McPhee, D.K., Seal, R.R., Taylor, R.D. and Vikre, P.G., 2010. Porphyry copper deposit model, chap. B of *Mineral deposit models for resource assessment*. U.S. Geological Survey Scientific Investigations Report, 5070-B, 169.
- Mehrabi, B., Ghasemi Siani, M., Zhang, R., Neubauer, F., Lentz, D.R., Tale Fazel, E. and Karimi Shahraki, B., 2021. Mineralogy, petrochronology, geochemistry, and fluid inclusion characteristics of the Dardvay skarn iron deposit, Sangān mining district, NE Iran. *Ore Geology Reviews*, 134, 104146.
- Meinert, L.D., Dipple, G.M. and Niculescu, S., 2005. World Skarn Deposits. *Economic Geology* 100th Anniversary: Littleton, CO, USA, Volume 299–336.
- Meinert, L.D., 1992. Skarns and skarn deposits. *Geoscience Canada*, 19 (4), 145–162.
- Nimis, P. and Taylor, W.R., 2000. Single clinopyroxene thermobarometry for garnet peridotites. Part 1 Calibration and testing of a Cr-in-cpx barometer and an enstatite-incpx thermometer. *Contribution in Mineralogy and Petrology*, 139, 541–554.
- Putirka, K.D., 2008. Thermometers and barometers for volcanic systems, in: *Minerals, inclusions and volcanic processes*, edited by: Putirka, K. and Tepley, F. *Review in Mineralogy and Geochemistry*, 69, 61–120.
- Shepherd, T.J., Rankin, A.H. and Alderton, D.H.M., 1985. A practical guide to fluid inclusion studies. Blackie, Glasgow, 239.
- Stöcklin, J., 1968. Structural history and tectonics of Iran: a review. *American Association of Petroleum Geologists Bulletin*, 52 (7), 1229–1258.
- Whitney, D.L. and Evans B.W., 2010. Abbreviations Sheferd et al., for names of rock-forming minerals. *American Mineralogist*, 95, 185–187.
- Wilkinson, J.J., 2001. Fluid inclusions in hydrothermal ore deposits. *Lithos*, 55(1–4), 229–272.
- Yavuz, F., 2013. WinPyrox: A Windows program for pyroxene calculation classification and thermobarometry. *American Mineralogist*, 98(7), 1338–1359.